(研究資料)

アピトン材の材質試験

(強度と収縮)

(Research materials)

Strength and Related Properties of APITONG.

Wood Mechanics of Wood Technology Division.

強 度 研 究 室(1)

はしがき

ちかごろ、南洋材の輸入がかなりさかんになつてきているが、輸入材の材質を縦強度、横強度、収縮等にわたり綜合的に評価した試験資料はきわめて少ないように思われる。われわれは、1951 年以来、当時たまたま輸入されたアピトン材(Apitong-Dipterocarpus sp.)の油脂含有量が少ないものと、多いものとにつき試験をしてきたので、その結果をとりまとめ、この材の利用上の参考資料としてここに発表する。なお、この資料の一部についてはすでに 1951 年4月、木材加工協会の月例研究会で発表している。

試験をおこなうにあたつて,種々御指導と助言をいただいた林業試験場長斎藤美鸞氏ならびに木材部長 小倉武夫氏,顕微鏡写真用切片を作成していただいた木材組織研究室長小林弥一氏に対し深く感謝の意を 表します。

1. 試料の出所と概観

われわれの用いた試料の大部分は笹野木材株式会社(東京・深川)より提供されたもので、その産地はミンダナオ島(Mindanao)である。供試用として当研究室に搬入された材は1吋程度の板に製材されていたため、規格で定められている横圧縮、部分圧縮、横引張等の試験体の木取が困難であつたので、それらについては他の材料を使用した。

この材はいわゆる散孔材で、年輪は認められない。Phot. 1 および 2 に少脂材と多脂材の顕微鏡写真を示すがきわめて多孔性である。材色は油脂分の少ないものは淡褐色でラワンに酷似しており、油脂分の多いものは褐色、きわめて油脂分の多いものは暗褐色を呈している。この材を加熱乾燥したり、直射日光の下にさらすと、木口面付近より油脂分が滲出してき、乾くとかたまつて白色を呈するものもある。また、気乾状態にある試験体でも、部分圧縮、横圧縮、静的曲げ試験などをするときは、荷重が比例限度を超えるころから、木口面付近に脂滴が滲出してくるのがしばしば観察された。さらにまた、この材を縦方向に鋸断するときでてくる鋸屑をみると、多脂材の鋸屑は少脂材より長くなつている。これで繊維板を作り、その品質についてもすでに木材加工協会の月例研究会で報告されている。

ここで用いた試料の気乾比重は 0.55 から 0.85 程度で、本邦産のブナ、ナラよりやや重いと判断される。供試材の分類、記号等について述べれば、外観的に油脂分が少ないと認められた板を 8 枚,油脂分が多いと認められた板を 9 枚選び、前者を少脂材(slightly resinous wood)と呼び、その記号を S.R.、

⁽¹⁾ 沢田 稔・山井良三郎・辻 完司・石川知子・児玉芳郎・近藤孝一

後者を多脂材(very resinous wood),その記号を V.R. とし, 各板にそれぞれ板番号を付した。 なお,供試材の水分状態を気乾と多湿の2つに分類して試験をおこなつた。すなわち,各板の半分を室内に放置して気乾状態にし,他の半分は小割にして,水のはいつた容器の中に入れ,多湿状態に保持し試験体を作製した。

2. 強度試験

2.1 試験方法

縦強度関係の試験体はいわゆる 2 cm 型で、静的曲げおよび衝撃曲げ試験体からは、試験の終了後ただちに、両端部から縦圧縮、セン断、横圧縮等の試験体を木取つた。

寸法の測定は試験直前に各試験体ごとに、 $1/20 \, mm$ 、 $1/50 \, mm$ 精度のヴァーニア・キャリバーでおこない、重量の測定は試験直後に $1/100 \, g$. 精度の化学天秤でおこなつた。その他の強度試験の条件については Table 1 の a, b, c, d に各試験難別に示したが、同表の記号等について簡単に説明をしておく。

21.1 縦引張試験 (T₁)

試験体の寸法は、JIS A 1006 に近似しており、中央領域の平行部分は長さ 60mm、厚さ 5mm であるが、巾は気乾の場合約 6mm(横圧縮性能、セン断強さ等を考慮して、中央領域の平行部分で破壊が起るように設計した)、多湿の場合約 10mm とした。全長は 340mm、彎曲部の曲率半径は 280mm、ツカミの長さは 80mm とし添木を使用した。

21.2 横引張試験 (Tr, Tt)

試験体の寸法は JIS A 1006 と同じで、T, は柾目方向、T, は板目方向の横引張試験である。

21.3 縦圧縮試験 (C₁)

添字 S のある場合は静的曲げ、添字 I のある場合は衝撃曲げ試験体より木取つたものを示す。

21.4 横圧縮試験 (C_⊥, C_r, C_t, C_{rt} = C₄₅)

 C_{\perp} の記号で示す試験体は静的および衝撃曲げ試験体より木取つたもので、荷重面積が $20 \times 40 \ mm^2$ 、高さ(=規長)が 20mm であり、荷重方向と髄線方向とのなす角度はさまざまである。 C_r 、 C_t 、 $C_{rt} = C_{45}$ の試験体は JIS A 1005 と同じく、荷重面積が $30 \times 30 \ mm^2$ 、高さが 60mm である。 C_r は柾目方向、 C_t は板目方向、 $C_{rt} = C_{45}$ は荷重方向と髄線方向とのなす角が 45 度の場合である。

21.5 部分圧縮試験 $(CP_r, CP_t, CP_{rt} = CP_{45})$

試験体の寸法は JIS A 1005 と同じく,一辺の長さは 30mm であり,添字については上記横圧縮の場合と同様である。

21.6 セン断試験(S)

セン断面は板目, 柾目, 追征等さまざまであり, セン断装置は A.S.T.M. 型のものである。

21.7 静的曲げ試験 (BS)

スパンは 240mm で, SPAN/DEPTH は 12 であり,荷重面は板目,柾目,追柾等さまざまである。

21.8 衝撃曲げ試験 (BI)

荷重面については静的曲げ試験の場合と同様である。

21.9 カタサ試験 (H_l, H_r, H_t)

木口面カタサ(H_l)は横引張試験体の木口面で,柾目面カタサ (H_l),板目面カタサ (H_r) は部分圧縮

Table 1・a 強度試験の条件 Test condition. 気乾一少脂材 Air dry—slightly resinous wood.

試験の種類と記号 Kind of test & Mark		試験年月 Date	試験体寸度 Dimensions of test specimen (<i>mm</i>)	試験体数 Specimens	使用試験機 Testing machine (ton)	使用力量 Capacity of machine (kg)	変形量測定装置 Measurement apparatus	備 考 Remark
	T ₁ -A-S. R. (T ₁ -A-S. R. T ₁ -A-S. R.	1953. 4 56. 5 56. 5	6×5 20×10	39 10 10	M—10 O—1	2000 200 ″	M_2 —1000 M_1 —1000 M_1	Н, Н,
縦圧縮試験 Compression // G.	C_{l} -A-S. R. C_{\perp} -A-S.R.	52. 7 52.12	20×20×40 20×40×20	34	M—10 A—4	5000 4000	M ₂ —2000 D—100	
	C _r -A-S, R I	56. 4 56. 5	30×30×60	5 5	O—1	1000	{ M ₁ —1000 D—100	
横圧縮試験 Compression_G.	C_t -A-S. R I C_t -A-S. R II	56. 4 56. 5	// //	5 5	"	"	"	
	C_{rt} -A-S. R I	56. 5 56. 5	//	5 5	"	"	" "	1.5
部分圧縮試験Partial compression_G.	CP_r -A-S. R. CP_t -A-S. R. CP_{rt} -A-S. R.	56. 5 56. 5 56. 5	30×30×150	10 10 10	O—1	1000	D—100	\mathbf{H}_{t}
セン断試験 Shear // G. 静的曲げ試験Static bending 衝撃曲げ試験Impact bending	S-A-S. R. BS-A-S. R. BI-A-S. R.	53. 3 52. 7 52. 6	20 × 20 × 30 20 × 20 × 300 20 × 20 × 300	70 25 25	M—10 A—4 TI	2000 400 10 kg-m	S—100	

Table 1 · b 強度試験の条件 Test condition. 与数一多版材 Air dry—very resinous wood.

			X(平4 多)旧约	in dry very	residous wood.			
	試験の種類と記号 Kind of test & Marl	k	試験年月 Date	試験体寸度 Dimensions of test specimens (mm)	試験体数 Specimens	使用試験機 Testing machine (ton)	使用力量 Capacity of machine (kg)	変形量測定装置 Measurement apparatus
縦引張試験 縦圧縮試験 横圧縮試験 セン断試験 部的曲げ試験 衝撃曲げ試験	Tension // G. Compression // G. Compression \(\perp \) G. Shear // G. Static bending Impact bending	T_{l} -A-V. R. C_{l} -A-V. R. C_{\perp} -A-V. R. S-A-V. R. BS-A-V. R. BI-A-V. R.	1953. 5 52. 7 52.11 53. 4 52. 7 52. 6	6×5 20×20×40 20×40×20 20×20×30 20×20×300 20×20×300	103 48 38 141 43 43	M—10 M—10 A—4 M—10 A—4	2000 .5000 4000 2000 400 10 <i>kg-m</i>	M ₂ -1000 M ₂ -2000 D-100 S-100

Table 1・c 強度 試験の条件 Test condition. 多湿一少胎材 Moist—slightly resinous wood.

			> I			_			
	試験の種類と記号 Kind of test & Mark		試験年月 Date	試験体寸度 Dimensions of test specimens (mm)	試験体数 Specimens	使用試験機 Testing machine (ton)	使用力量 Capacity of machine (kg)	変形量測定装置 Measurement apparatus	
縦引張試験	Tension // G.	T _l -M-S. R.	1952.11	10×5	47	M—10	2000	M ₂ —1000	
縦圧縮試験	Compression // G.	C _l -M-S. R.	52. 4	20 × 20 × 40	85	M —10	2000	M_2 —2000	
横圧縮試験	Compression \perp G.	C⊥-M-S. R.	51.6	20 × 40 × 20	64	A4	4000	D —100	
セン断試験	Shear // G.	S-M-S. R.	52.12	20×20×30	62	M —10	2000		
静的曲げ試験	Static bending	BS-M-S. R.	51.4	20×20×300	45	A—4	400	S-100	
衝撃曲げ試験	Impact bending	B I-M-S. R.	51. 3	20×20×300	43	TI	10 kg-m		
						1	•	1	

Table 1・d 強度 試験の条件 Test condition. 多混一多胎材 Moist—very resinous wood.

			少心 沙胆树	Wioist—VCi y i	csinous wood.				
	試験の種類と記号 Kind of test & Mark	· · · · · · · · · · · · · · · · · · ·	試験年月 Date	試験体寸度 Dimensions of test specimens (mm)	試験体数 Specimens	使用試験機 Testing machine (ton)	使用力量 Capacity of machine (kg)	変形量測定装置 Measurement apparatus	
縦引張試験	Tension // G.	T_l -M-V.R.	1952.11	10×5	36	M—10	2000	M ₂ —1000	
縦圧縮試験	Compression // G.	C _l -M-V. R.	52. 4	20×20×40	88	M —10	2000	M ₂ —2000	
横圧縮試験	Compression \perp G.	C⊥-M-V.R.	51.6	20×40×20	60	A4	4000	D—100	
セン断試験	Shear // G.	S-M-V.R.	52.12	20×20×30	59	M —10	2000		
静的曲げ試験	Static bending	BS-M-V.R.	51. 4	20×20×300	45	A4	400	S-100	
衝撃曲げ試験	Impact bending	BI-M-V.R.	51. 3	20 × 20 × 300	39	TI	10 <i>kg-m</i>		
						1			

試験体の荷重面でそれぞれ求めた。その試験要領は JIS A 1011 によった。

21.10 試験機と使用力量

表中の試験機の能力は ton で,使用力量は kg で示した。その記号は下記のごとくである。

M-10 能力 10ton, アムスラー式材料試験機, 油圧電動

O-1 能力 1ton, オルゼン式材料試験機, 電動, 手動

A-4 能力 4ton, アムスラー木材試験機, 油圧, 手動

TIエネルギー 10kg-m, アムスラー式衝撃試験機

21.11 変形量の測定

M=湯浅式エクステンソメーター (Mirror extensometer=M.E.), M₁ は第1種, M₂ は第2種の方 法を示す。なお,数字は倍率を示す。

D=ダイヤルゲージ (Dial gage=D.G.), ストローク 10mm, 精度 1/100mm.

S=静的曲げ試験において、試験体の中央の撓を測定する場合、試験体の両支点上の側面中央に針をう ち,これに細いゴムヒモを張り、そのゴムヒモの中央下面(または上面)と試験体のスパン中央標識 とを2台の読取顕微鏡にて測定した。精度は 1/100mm である。

なお、横圧縮試験の場合、 $30 \times 30 \times 60 \, mm^3$ 試験体については、 試験体の高さ全体を規長としてダイヤ ルゲージにより変形量の測定をおこなうとともに、同一試験体の中央領域に 30 mm の標点距離を設け、 エクステンソメーターでも測定をあわせおこなつた。

21.12 試験時の温度および湿度 (T, H)

試験室内の温度および関係湿度を一定に保ちえないので、各試験の直前に、局部的条件として実測した ものである。

21.13 荷重速度 (Lv)

各試験に要する時間を stop watch で求め、これで最大応力を除したいわゆる平均荷重速度である。試 験の種類によっては変形速度も求めた。

very resinous wood

2.2 試験結果

各種の試験結果を述べるにさきだち、表中に使用する記号等について説明しておく。

A=気乾状態 air dry condition

M=多湿状態 moist condition

slightly resinous wood S. R.=少脂材

V. R.=多脂材 number of specimens N=試験体簡数

Mean=平均值 arithmetic mean

S. D. = 標準偏異 standard deviation

C. V. = 変化係数 coefficient of variation

moisture content u=含水率

 $R_n =$ 試験時比重 specific gravity at test

R₀=全乾時比重 specific gravity, oven dry, based on volume at test

Lv=荷重速度 velocity of loading

velocity of deformation $D_V = 変形速度$ T=試験時温度 temperature at test relative humidity at test H=試驗時関係湿度 σ_n =比例限応力 stress at proportional limit E=ヤング係数 Young's modulus deformation at proportional limit δη=比例限変形度 work at proportional limit W_p=比例限比仕事量 $\sigma_m = 破壊応力$ ultimate stress δ...=破壊変形度 ultimate deformation τ=セン断強さ shearing strength a=衝撃曲げ吸収エネルギー absorbed energy at impact bending stress at yield point συ=降伏点応力 δυ=降伏点変形度 strain at yield point $E_y = \sigma_y / \delta_y$ stress at 5% strain σ5=辺長の 5% 圧縮応力

22.1 縦強度試験

221.1 縦引張試験 (T₁)

σ10=辺長の 10% 圧縮応力

試験結果は Table 26・a に詳記してあるので参照されたいが、この場合の試験体の気乾比重は 0.60 程度のものが多く、供試材全体からみると比重の小さい方に属している。なお、破壊変形度については、実測によるものと、比例外挿によるものとがある。さきに述べた気乾、多湿、多脂、少脂等の試験群に分類した結果を整理し、対応する試験群の平均値を比較して Table 2 に示す。

stress at 10% strain

強度的諸性質は多脂,少脂の外観的材質差よりも, 気乾, 多湿の水分状態差の影響を大きくうけていることがわかる。また,多脂材と少脂材の差異は,気乾状態よりむしろ多湿状態の場合に明らかである。

Table 2 縱引 張 試 驗 結 果 (全) Results of tensile tests parallel to the grain—T_l.

	į		Air dr	y		Moist		S. R.	V.R.
		S. R.	V.R.	V. R./S. R.	S. R.	V. R.	V.R./S.R.	M/A	M/A
N		39	103	_	47	36	_		_
u	%	15.0	14.5	0.97	39.5	34.0	0.86	2.63	2.34
R_{ν}		0.60	0.60	1.00	0.76	0.74	0.97	1.27	1.23
R_0		0.53	0.52	0.98	0.54	0.56	1.04	1.02	1.08
L_{V}	kg/cm²/min	188	170	0.90	275	270	0.98	1.46	1.59
D_{V}	%/min	0.11	0.09	0.82	0.18	0.19	1.06	1.64	2.11
T	°C :	19	19	1.00	14	14	1.00	0.74	0.74
Н	%	73	81	1.11	88	92	1.05	1.21	1.14
σ_p	kg/cm^2	1175	1260	1.07	910	775	0.85	0.81	0.62
É	$10kg/cm^2$	178	198	1.11	161	164	1.02	0.90	0.82
δ_p	%	0.63	0.64	1.02	0.57	0.47	0.83	0.90	0.73
\mathbf{W}_{p}	kg-cm/cm ³	4.1	4.1	1.00	2.6	1.9	0.73	0.63	0.46
σ_m	kg/cm^2	1725	1765	1.02	1215	1090	0.90	0.70	0.62
δ_m		0.99	0.93	0.94	0.85	0.84	0.99	0.86	0.90

Table 3·a 板别引脹試験結果 (気乾一少脂) Results of each strip (A-S. R.-T_l).

			1				板	番号 Str	ip No.			
			-	1	ī	2	3	4	5	6	7	8
	N			1	1	5	3	8	3	4	5	7
u ·	Mean	%		15.5		14.2	14.5	14.2	14.3	15.1	14.8	15.1
	S.D.	"				0.4	0.4	0.2	0.2	1.1	0.2	0.4
	C.V.	%				3	3	I .	1 :	7	1	3
	N			1		5	3	8	3	4	5	7
$R_{\prime\prime}$	Mean			0.72		0.61	0.63	0.60	0.57	0.61	0.59	0.58
	S.D.			_		0.011	0.013	0.020	0.049	0.017	0.032	0.015
	C.V.	%				2	2	3	9	3	5	3
	N			1	1	8	3	8	3	4	5	7
R_0	Mean			0.63		0.55	0.55	0.52	0.50	0.53	0.51	0.51
0	S.D.					0.025	0.013	0.016	0.044	0.017	0.026	0.011
	C.V.	%				5	2	3	9 -	3	5	2 5
	N			1		6	3	8	3	4	4	
σ_{p}	Mean	kg/cm^2		1265		1244	1388	1056	1165	1240	1255	1025
• <i>p</i>	S.D.	"		_		232	243	243	337	122	255	163
	C.V.	%	- 1	_		18	18	23	29	10	20	16
	N			1		6	3	8	3	4	4	5
E	Mean	$10^3 kg/cm^2$		198		187	189	167	180	181	180	167
L) S.D.	"				8	16	20	33	20	16	14
	C.V.	%		_	1	5	8	12	18	1 1	9	8
	N			1	1	7	3	8	3	4	5	7
σ_m	Mean	kg/cm^2		2485		1816	1963	1512	1848	1811	1765	1534
σ_m	S.D.	"				319	302	326	263	202	419	302
	C.V.	%				18	15	22	14	11	24	20
	(N			_		5	3	7	3	3	3	6
δ_m	Mean	%		_		0.99	1.08	0.91	1.17	0.94	1.00	0.95
σ_m) S.D.	//		_		0.11	0.14	0.11	0.12	0.09	0.16	0.07
	C.V.	%			1	11	13	12	10	10	16	7

Table 3・b つづき (気乾一多脂) Lesults continued (A-V. R.-T_l).

						板番	寻 Strip	No.	<u> </u>		
			1	2 .	3	4	5	6	7	8	9
	N		2	18	16	12	8	20	14	3	10
u	Mean	%	15.0	14.2	14.4	14.3	15.3	14.7	13.9	15.3	13.9
u	S.D.	//	0 -	0.4	0.5	0.5	0.6	0.4	0.4	0.8	0.3
	C.V.	%	0	3	4	3	4	3	3	6	2
	N		2	18	16	12	8	20	14	3	10
R_n	Mean		0.57	0.56	0.59	0.55	0.57	0.66	0.64	0.56	0.57
IC _{nt}	S.D.		0.014	0.062	0.066	0.012	0.028	0.089	0.039	0.035	0.015
	C.V.	%	3	11	11	2	5	14	6	6	3
	N		2	18	16	12	8	20	14	3	10
R_0	Mean		0.49	0.50	0.52	0.48	0.50	0.57	0.57	0.49	0.51
100	S.D.		0.014	0.028	0.021	0.009	0.019	0.010	0.020	0.029	0.014
	C.V.	%	3	6	4	2	4	2	3	6	3
	N		2	15	16	12	8	20	14	3	10
	Mean	kg/cm^2	1208	1196	1360	1220	1201	1174	1304	1380	1348
σ_p	S.D.	"	468	214	250	260	228	263	274	262	204
	C.V.	%	39	18	18	21	19	22	21	19	15
	N		2	15	16	12	8	20	14	3	10
Е -	Mean 1	$0^3 kg/cm^2$	161	175	213	179	181	215	205	190	212
E,	S.D.	11	39	29	15	17	40	26	25	14	27
	C.V.	%	24	17	7	10	22	12	12	7	13
	N		2	18	16	12	8	20	14	3	10
_	Mean	kg/cm^2	1480	1566	1935	1563	1722	1768	1872	1762	2035
σ_m .	S.D.	"	653	363	310	177	249	441	285	251	333
	C.V.	%	37	23	24	12	15	25	15	14	16
	N	,	2	14	14	11	8	10	13	2	6
	Mean	%	0.94	0.93	0.94	0.93	0.99	0.82	0.97	0.94	0.95
δ_m -	S.D.	"	0.19	0.18	0.15	0.17	0.14	0.15	0.13	0.13	0.13
	(C.V	%	20	18	16	17	14	18	13	13	14

Table $3 \cdot c$ つづき (多湿一少脂) Results continued (M-S. R.- T_l).

					;	板番号 St	trip No.			
			1	2	3	4	5	6	7	8
	N		6 .	6	12	4	4	3	8	4
u	Mean	%	43.3	42.3	38.9	34.0	40.6	31.0	45.7	38.0
u) S.D.	//	7.1	6.9	7.0	6.4	6.2	2.9	5.6	4.5
	C.V.	%	17	16	18	91	15	9	12	12
	N		6	6 :	12	4	4	3	8	4
R_{u}] Mean		0.77	0.79	0.77	0.78	0.74	0.77	0.73	0.76
1076) S.D.		0.042	0.049	0.045	0.036	0.043	0.013	0.024	0.021
	c.v.	%	6	6 .	6	5	6	2	3	3
	N		6	6 1	12	4	4	3	8	4
R_0	Mean		0.53	0.53	0.54	0.57	0.52	0.58	0.53	0.53
10] S.D.		0.005	0.012	0.015	0.036	0.022	0.050	0.029	0.008
	C.V.	%	1	2	3 ,	6	4	9	6	2
	N		6	6 !	12	4	4	2	8	4
σ_p	Mean	kg/cm^2	950	895	890	950	855	930	915	915
^{o}p] S.D.	17	106	105	176	202	132	13	164	208
	C.V.	%	11	12	20	21	16	1	19	23
	N		6	6 '	12	4	4	2	8	4
Е	Mean	$10^3 kg/cm^2$	165	159	156	193	150	168	151	165
E] S.D.	11	17	14	11	22	20	8	13	17
	C.V.	%	10	9	7	11	13	5	9	10
	N		6	6	12	4 '	4	3	8 .	4
<i>~</i>	Mean	kg/cm^2	1277	1121	1223	1468	1148	1108	1197	1203
σ_m) S.D.	"	202	164	246	274	59	153	163	259
	C.V.	%	16	15	20	19	5	14	14	22
	N		4	6	11	2	4	2	8	î 4
δ_m	Mean	%	0.86	0.85	0.91	0.82	0.87	0.77	0.82	0.76
0 111) S.D.	"	0.08	0.10	0.17	0.05	0.16	0.06	0.09	0.13
	C.V.	%	. 10	12	18	6	19	8	11	17

Table 3・d つづき (多湿一多脂) Results continued (M-V.R.- T_l).

						板番	号 Strip	No.			
			1	2	3	4	5	6	7	8	9
	N		4	4	3	2	2	8	5	4	3
u ·	Mean	%	32.9	34.4	31.8	35.3	30.5	40.5	31.2	32.9	29.2
u ·	S.D.	11	1.3	2.0	0.2	1.8	0.3	3.6	1.5	2.5	2.3
	C.V.	%	4	6	1	5	1	9	5	8 :	8
	N		4	4	3 :	2	2	8	5	4	3
R_n	Mean		0.78	0.71	0.73	0.72	0.65	0.78	0.73	0.73	0.72
\mathbf{R}_n	S.D.		0.031	0.016	0.019	0	0.023	0.027	0.012	0.014	0.013
	C.V.	%	4	2	3 ,	0	4	4	2	2 :	
	N	,-	4	4	3	2	2	8	5	4	2 3
ъ	Mean		0.58	0.53	0.56	0.54	0.50	0.58	0.56	0.54	0.56
R_0	S.D.		0.037	0.011	0.017	0.007	0.025	0.019	0.010	0.005	0.006
	C.V.	%	6	2	3	1	5	3	2	1	1
	ÌΝ	, -	4	3	3	1 1	2	8	5	4	3
	Mean	kg/cm^2	924	912	728	920	850	683	756	755	783
σ_p	S.D.	//	68	6	78	- 1	54	162	108	153	116
	C.V.	%	7	1	11		6	24	14	20 !	15
	N	/0	4	3	3	1	2	8	5	4	3
	Mean	$10^3 kg/cm^2$	187	155	169	165	135	155	163	172	174
Е -	S.D.	//	19	17	7		13	20	10	39	16
	c.v.	%	10	11	4]	10	13	6	23	
	N	70	4	4	3	2	2	8	5	4	9 3
	Mean	kg/cm^2	1169	1023	1125	1280	1288	881	1056	1193	1295
σ_m :	S.D.	ng join	70	48	40	140	72	200	98	159	1293
	c.v.	%	6	5	4	11	6	23	9	13	1 2
	N N	70	4	3	3	1	2	6	5	4	3
	Mean	%	0.72	0.75	0.89	0.92	1.07	0.74	0.87	0.97	0.82
δ_m (S.D.	70	0.72	0.12	0.18	0.92	0.07	0.12	0.15	0.31	0.02
	$\begin{array}{c} c.v. \\ c.v. \end{array}$	%	10	17	20		6	16	17	33	9

$$\sigma_n \ (kg/cm^2)$$
 595~1235~1925 400~ 850~1230
E $(10^3 \ kg/cm^2)$ 99~ 192~ 264 122~ 162~ 236
 $\sigma_m \ (kg/cm^2)$ 845~1750~2685 660~1160~1825

すなわち,多湿材は気乾材に対し、比例限応力では約7.0割、ヤング係数では約8.5割、破壊応力では約6.5割程度になつている。

なお、各試験群別の板ごとに整理した試験結果を示すと Table 3 の a, b, c, d のごとくなる。 1 を の板内、および各板間の材質のムラの程度がうかがわれる。さらにこのような板別の試験結果を縦圧縮、 セン断、曲げ等について求めておけば、各種試験の相互関係を推定するうえに役だつ資料となると思う。

221.2 縦圧縮試験 (C_l)

試験結果は Table 26・b に示す。試験群別に総括整理し、それぞれ対応する平均値を比較した結果は Table 4 に示す。 多脂材と少脂材を比較すれば、 気乾状態では破壊応力はほとんど差がみとめられないが、比例限応力およびヤング係数は多脂材の方が大きくなつている。 多湿状態ではヤング係数はほとんど 同じであるが、他の諸性質は多脂材の方が小さくなつている。いま、多脂、少脂の区別をやめて、気乾材と多脂材の比較を 2 、3 の性質についておこなうとつぎのごとくなる。

気 乾 材 多 湿 材
$$\sigma_p (kg/cm^2)$$
 230~370~530 175~270~453 E (10³ kg/cm^2) 95~179~306 83~160~253 $\sigma_m (kg/cm^2)$ 385~475~560 250~355~470

すなわち,比例限応力では多湿材は気乾材の約 7.5 割, ヤング係数では約 9.0 割, 破壊応力では約 7.5 割になつている。 σ_m/E は気乾の少脂材で約 0.0030 となり,比例限変形度の約 1.4 倍,破壊変形度の 55% となつている。

Table 4 縦圧縮試験結果 (全) Results of compressive test parallel to the grain—C_I.

		1	Air dr	у		Moist		S.R.	V. R.
		S. R.	V. R.	V. R./S.R.	S. R.	V.R.	V. R./S. R.	M/A	M/A
N		34	48		85	88	_	_	
u	%	16.0	15.0	0.94	46.0	48.0	1.04	2.88	3.20
R_u		0.67	0.68	1.01	0.80	0.80	1.00	1.19	1.08
R_0		0.58	0.59	1.02	0.54	0.54	1.00	0.93	0.92
L_V	kg/cm²/min	93	96	1.03	66	68	1.03	0.71	0.71
$\mathrm{D}v$	%/min	0.103	0.075	0.73	0.075	0.086	1.15	0.73	1.15
T	°C	28	26	0.93	17	17	1.00	0.61	0.65
\mathbf{H}	%	79	82	1.04	64	70	1.13	C.81	0.85
σ_p	kg/cm^2	330	400	1.21	300	245	0.82	0.91	0.61
$\overset{\sigma_{p}}{\mathrm{E}}$	$10^{3}kg/cm^{2}$	166	188	1.13	158	161	1.02	0.95	0.86
δ_{p}	%	0.21	0.22	1.05	0.20	0.16	0.80	0.95	0.73
\mathbf{W}_{p}	kg - cm/cm^3	0.36	0.45	1.25	0.31	0.20	0.65	0.86	0.44
σ_m	kg/cm^2	470	475	1.01	390	320	0.82	0.83	0.67
δ_m	%	0.55	0.36	0.65	0.44	0.41	0.93	0.80	1.14
σ_m/E	%	0.30	0.26	0.87	0.26	0.21	0.81	0.87	0.81
σ_p/σ_m	, •	0.70	0.84	1.20	0.76	0.74	0.97	1.09	0.88

			Resul	ts of ea	ch strip	(A-S.R	C_l).			
			<u>;</u> !		板番	号 Strip	No.			
			1	2	3	4	5	6	7	8
u	$\begin{cases} N \\ Mean \\ S.D. \\ C.V. \end{cases}$	% " %	3 16.8 0.5 3	5 17.0 0.3 2	5 16.3 0.2	5 16.5 0.5 3	3 15.5 0 0	5 15.0 0.4 3	3 15.1 0.2 2	5 15.3 0.8 5
R_u	N Mean S.D. C.V.	%	3 0.65 0.005	5 0.68 0.009	5 0.67 0.006 1	5 0.66 0.008 1	3 0.64 0.005	5 0.69 0.010 1	3 0.66 0	5 0.69 0.008 1
R_0	$ \begin{cases} N \\ Mean \\ S.D. \\ C.V. \end{cases} $	%	3 0.55 0.005 1	5 0.58 0.009 2	5 0.57 0.001 1	5 0.57 0.004 1	3 0.55 0.005 1	5 0.60 0.016 3	3 0.57 0 0	5 0.59 0.008 1
σ_{p}	$ \begin{cases} N \\ Mean \\ S.D. \\ C.V. \end{cases} $	kg/cm² " %	3 361 28 8	5 334 48 14	5 288 36 13	5 285 54 19	3 338 46 14	5 326 73 23	3 291 50 17	5 437 55 13
E	$ \begin{cases} N \\ Mean \\ S.D. \\ C.V. \end{cases}$	10 ³ kg/cm ² //	3 168 13 8	5 165 24 15	5 155 33 21	5 156 24 15	3 160 14 9	5 177 70 39	3 161 33 21	5 179 26 14
		kg cm² " %	3 445 23 5	5 443 42 10	5 438 17 4	5 445 13 3	3 470 8 2	5 488 18 4	3 492 5 1	5 531 23 4
$\delta_{\it m}$	$ \begin{cases} N \\ Mean \\ S.D. \\ C.V. \end{cases}$	% %	3 0.53 0.08 16	4 0.53 0.22 42	5 0.63 0.14 26	5 0.60 0.14 23	3 0.48 0.04 9	5 0.57 0.15 19	3 0.60 0.04 7	5 0.43 0.12 28
σ/F	N Mean	%	3 0.27	5 0.25	5 0.30	5 0.29	3	5 0.31	3 0.32	5 0.29

Table 5·a 板別縦圧縮試験結果 (気乾一少脂) Results of each strip (A-S.R.-C_l).

なお,縦圧縮試験結果を各板ごとに整理し, $Table\ 5\ o$ a, b, c, d, e, f に示す。多湿状態の場合は静的曲げおよび衝撃曲げ試験体から木取つたものをそれぞれ区別してとりまとめてある。

0.08

28

0.06

20

0.02

6

0.09

30

0.08

24

0.04

15

0.03

10

221.3 セン断試験(S)

c.v.

%

試験結果は Table $26 \cdot c$ に示し、試験群別の総括結果は Table 6 に示す。 多脂材と少脂材と比較すれば、気乾ではほとんど同じであり、多湿では多脂材の方が小さく、少脂材の約8割である。気乾材と多湿材の差は大きく、多脂材では多湿材は気乾材の約6.5割である。多脂、少脂の区別をやめて比較すればつぎのごとく、多湿材は気乾材の約7.0割となる。

気 乾 材 多 湿 材

 $\tau (kg/cm^2)$ 71~106~134 31~75~105

試験群別, 板別の整理結果は Table 7 の a, b, c, d のごとくなる。

0.04

14

221.4 静的曲げ試験結果

Table 5・b つづき (気乾一多脂) Results continued (A-V. R.- C_l).

			板番号 Strip No.									
			1	2	3	4	5	6	7	8	9	
u -	Mean S.D. C.V.	% " %	3 15.1 0.2 1	6 15.0 0.7 5	6 16.0 0.3 2	6 15.6 0.4 2	6 15.7 0.6 4	6 14.0 0.2 1	6 14.0 0.3 2	5 13.7 0.9 6	4 14.0 1.0 7	
\mathbf{R}_u	Mean S.D. C.V.	%	3 0.67 0.005	6 0.70 0.014 2	6 0.66 0.044 1	6 0.63 0.010 2	6 0.59 0.006 1	6 0.82 0.020 2	6 0.71 0.008 1	5 0.63 0.005 1	4 0.70 0.010 1	
R_0	Mean S.D. C.V.	%	3 0.58 0.006 1	6 0.62 0.009 1	0.66	6 0.56 0.003		6 0.71 0.015 2	6 0.63 0.007 1	5 0.54 0.004 1		
σ_{p} .	$\begin{cases} N \\ Mean \\ S.D. \\ C.V. \end{cases}$	kg cm² " %		6 397 25 6	6 388 12 3	6 355 38 11	6 360 23 6	5 449 24 5	6 455 40 9	5 350 22 6	4 482 19 4	
Е -	$ \begin{cases} N \\ Mean \\ S.D. \\ C.V. \end{cases}$	10³ kg/cm² ″ %	3 185 19 10	6 173 41 24	6 189 18 9	6 147 16 11	6 145 25 17	5 263 24 9	6 200 36 18	5 182 9 5	4 222 26 12	
σ_m .	Mean S.D. C.V.	kg cm² " %	3 477 21 5	6 500 34 7	6 420 6 1	6 444 16 4	6 430 10 2	6 506 15 3	6 527 20 4	5 445 11 3	4 539 13 3	
		% " %	3 0.36 0.03 8	6 0.44 0.11 25	6 0.24 0.03 14	6 0.37 0.08 21	6 0.39 0.12 30		6 0.37 0.07 19	5 0.47 0.05 11	4 0.39 0.11 27	
$\sigma_m/{ m E}$	Mean S.D. C.V.	% " %	3 0.25 0.02 8	6 0.33 0.07 21	6 0.22 0.02 10	6 0.30 0.03	6 0.31 0.06 18	5 0.19 0.02 11	6 0.27 0.05 17	5 0.25 0.01 5	4 0.26 0.03 12	

試験結果は Table $26 \cdot d$ に詳記してある。試験群別の総括結果を Table 8 に示すが,どの水分状態でも少脂材の諸性質は多脂材よりやや大きくなつている。いま,多脂,少脂の区分をやめて,2 、3 の性質につき,気乾材と多湿材の比較をすればつぎのごとくなる。

	気 乾 材	多湿材
$\sigma_p \ (kg/cm^2)$	365∼ 610∼ 890	275~450~630
$F (10^3 kg/cm^2)$	77~ 119~ 185	71~ 92~119
$\sigma_m \ (kg/cm^2)$	850~1025~1230	515~730~970

すなわち,比例限応力では多湿材は気乾材の約7.5割,ヤング係数では約7.5割,破壊応力は約7.0割になっている。

試験群別, 各板別の結果を整理すれば Table 9 の a, b, c, d のごとくなる。

221.5 衝撃曲げ試験結果 (BI)

Table	5 · c	つづき	(多湿一)	川-	一静的曲げ)
Results	continue	d (M-S.	Rfrom	BS	specimens).

					板番	号 Strip	No.			
			1	2	3	4	5	6	7	8
u	$ \begin{cases} N \\ Mean \\ S.D. \\ C.V. \end{cases} $	% " %	6 39.0 8.9 23	5 52.6 7.5 14	5 36.6 4.1 11	6 42.0 3.9 9	5 45.6 6.6 14	6 38.1 3.3 9	6 46.1 11.1 24	6 56.6 5.7 10
R_n	$\begin{cases} N \\ Mean \\ S.D. \\ C.V. \end{cases}$	%	6 0.77 0.050 7	5 0.85 0.053 6	5 0.75 0.026 4	6 0.77 0.031 4	5 0.79 0.030 4	6 0.76 0.042 6		6 0.84 0.033 4
R ₀	$\begin{cases} N \\ Mean \\ S.D. \\ C.V. \end{cases}$	%	6 0.54 0.016 3	5 0.56 0.011 2	5 0.55 0.005 1	6 0.56 0.023 4	5 0.54 0.015 3	6 0.55 0.026	6 0.53 0.019 4	6 0.53 0.014 3
σ_p	N Mean S.D. C.V.	kg/cm² %	4 285 25 9	4 295 51 17	3 240 31 13	6 305 33 16	4 293 48 16	5 335 58 17	5 288 38 13	5 305 36 12
Е	N Mean S.D. C.V.	10³kg/cm² " %	152 20 13	163 28 17	3 141 8 6	6 190 25 13	4 149 25 17	5 141 17 12	5 123 16 13	5 164 41 24
σ_m	Mean S.D. C.V.	kg/cm² " %	6 384 33 9	5 401 25 6	5 365 23 6	6 376 16 4	5 355 15 4	6 417 23 6	6 388 15 4	6 390 8 2
δ_m	$\begin{cases} N \\ Mean \\ S.D. \\ C.V. \end{cases}$	% " %	6 0.34 0.04 12	5 0.45 0.07 16	5 0.44 0.10 23	6 0.35 0.08 22	5 0.37 0.07 18	6 0.49 0.07 14	6 0.55 0.09 17	6 0.40 0.11 28

試験結果は Table 26・e に示してある。試験群別の総括結果は Table 10 のごとくであるが、どの水分状態でも少脂材の方がやや大きくなつている。また、気乾材と多湿材をくらべると気乾材の方が若干高くなつている。いま、多脂、少脂の区別をやめて、水分状態による差をみれば、多湿材の値は気乾材の約9.0 割程度になつている。

気乾材 多湿材

a $(kg-m/cm^2)$ 0.18 \sim 0.77 \sim 1.29 0.18 \sim 0.69 \sim 1.05

どの水分状態でも最大値と最小値の差が大きく、とくに多脂材における変動が大きい。

試験群別,板別の整理結果を Table 11 の a, b, c, d に示すが, 少脂材の No. 4 の板および多脂材の No. 6 の板では,多湿状態の値が気乾状態の値より高くなつている。

22.2 横強度試験

]	Results	continu	ed (M-V		om BS sp)		
						板番号	Strip N	0.			
			1	2	3	4	5	6	7	8	9
u	$ \begin{cases} N \\ Mean \\ S.D. \\ C.V. \end{cases}$	% " %	63.5 12.0 19		6 39.6 6.7 17	5 37.8 6.3 17	5 58.9 6.1 10	5 61.8 7.3 12	5 49.8 3.1 6	5 52.6 15.2 29	32.9 3.7 11
R_n	N Mean S.D. C.V.	%	5 0.82 0.071	5 0.79 0.039 5		5 0.71 0.042 6	5 0.82 0.047 5	5 0.85 0.047 6	5 0.86 0.014 2	5 0.82 0.066 8	4 0.74 0.001 1
R_0	$ \begin{cases} N \\ Mean \\ S.D. \\ C.V. \end{cases} $	%	4 0.56 0.042 8	5 0.54 0.023 5	6 0.55 0.010 2	5 0.53 0.008 2	5 0.52 0.008 2	5 0.53 0.013 3	5 0.55 0.026 5	5 0.54 0.046 9	4 0.55 0.009 2
σ_p	N Mean S.D. C.V.	kg cm² %	3 208 12 6	5 249 56 23	5 244 42 17	5 271 29 11	5 215 26 12	5 239 25 10	5 254 24 9	4 225 24 11	3 258 42 16
Е	$ \begin{cases} N \\ Mean \\ S.D. \\ C.V. \end{cases}$	103 kg/cm² %	3 193 47 24	5 128 17 13	5 162 23 14	5 158 34 22	5 161 42 26	5 160 25 16	5 171 40 23	4 129 32 25	3 223 19 9
σ_m	N Mean S.D. C.V.	kg/cm² " %	5 312 22 7	5 350 41 12	6 308 38 12	5 339 16 5	5 337 6 2	5 329 17 5	5 294 27 7	5 292 14 4	4 314 15 5
δ_m	$ \begin{cases} N \\ Mean \\ S.D. \\ C.V. \end{cases}$	% " %	4 0.77 0.20 26	5 0.54 0.09 16	4 0.25 0.07 26	5 0.44 0.06 13	5 0.57 0.09 16	5 0.44 0.08 17	5 0.20 0.04 20	5 0.38 0.09 24	4 0.20 0.02 10

Table 5・d つづき (多湿―多脂―静的曲げ)

222.1 横引張試験 (Tr, Tt)

試験結果は Table 26・f に示す。Table 12 に柾目方向と板目方向の総括結果を表記する。板目方向の 方が柾目方向にくらべて比重が大きいにもかかわらず、破壊変形度以外の諸性質は小さくなつている。と くに、比例限応力やヤング係数における差はいちじるしい。板目方向の破壊変形度は柾目方向の約1.5倍 となつている。

222.2 横圧縮試験 (C₁, C_r, C_t, C_{rt} = C_{i5})

この試験はさきに述べたごとく、静的および衝撃曲げ試験体より木取つた $20 \times 40 \times 20 mm^3$ 試験体と、 他の材料より木取つた $30 \times 30 \times 60 mm^3$ の規格試験とがあり、それらの試験結果は Table $26 \cdot g$, h に示 してある。Table 13 には曲げ試験体から木取つた試験体につき、試験群別に整理した結果を示す。気乾 における比例限および降伏点における変形度以外の諸性質はいずれも少脂材の方が多脂材より大きな結果

Table 5 • e	つづき	(多湿一少脂-	衝撃曲げ)
Results continu	ied (M-S.	Rfrom BI	specimens)

	1		板番	号 Strip	No.			
	1	2	3	4	5	6	7	8
u { N Mean % S.D. " C.V. %	5 42.4 8.9 21	5 56.3 3.9 7	5 43.5 10.0 23	5 52.5 6.1 12	5 50.5 3.4 7	5 41.5 7.0 17	5 50.6 6.7 13	5 47.1 5.0 11
$R_{\it u} \ \begin{cases} N \\ Mean \\ S.D. \\ C.V. \end{cases} \ \ \%$	5 0.81 0.077	5 0.87 0.032 4	5 0.80 0.074 9	5 0.83 0.022 3	5 0.78 0.051 7	5 0.79 0.041 5	5 0.77 0.033 4	5 0.79 0.032 4
$R_0 \ \begin{cases} N \\ Mean \\ S.D. \\ C.V. \ \ \% \end{cases}$	5 0.55 0.032 6		5 0.55 0.020 4	5 0.55 0.012 2	5 0.51 0.012 2	5 0.57 0.016 3	5 0.52 0.020 4	5 0.54 0.013 2
σ_p $\begin{cases} N \\ \text{Mean} & kg/cm^2 \\ \text{S.D.} & \mathscr{U} \\ \text{C.V.} & \mathscr{H} \end{cases}$	313 90 29	5 305 37 12	5 302 38 13	2 273 23 8	3 303 47 16	5 304 65 21	3 283 30 11	5 313 38 12
$E = \begin{cases} N \\ Mean & 10^3 kg/cm^2 \\ S.D. & \% \\ C.V. & \% \end{cases}$	4 191 30 16	5 159 41 26	5 149 28 19	2 208 57 27	3 165 28 17	5 166 45 27	3 125 10 8	5 158 44 28
$\sigma_m egin{cases} N & & & & & \\ Mean & & & & kg/cm^2 \\ S.D. & & & & \\ C.V. & & \% & & \end{cases}$	5 410 38 9	5 421 22 5	5 392 31 8	5 382 16 4	5 349 12 3	5 429 15 4	5 374 29 8	5 386 7 2
$\delta_m \begin{cases} N \\ \text{Mean} & \% \\ \text{S.D.} & \% \\ \text{C.V.} & \% \end{cases}$	5 0.39 0.05 12	5 0.49 0.05 10	5 0.50 0.13 25	5 0.49 0.21 43	5 0.34 0.05 15	5 0.50 0.07 15	5 0.60 0.21 35	0.43 0.05

となつている。また,気乾材と多湿材をくらべれば,少脂材の比例限および降伏点における変形度以外の 諸性質は気乾材の方が大きくなつている。いま,多脂と小脂の区別をやめて,2,3の性質を比較すれば つぎのことくなる。

		気 乾 材	多湿材
σ_p	(kg/cm^2)	25~ 38~ 57	18~ 28~ 39
Е	$(10^3kg/cm^2)$	2.1~4.1~6.6	1.7~3.1~4.3
σ5	(kg/cm^2)	45~ 66~ 95	30~ 45~ 65

すなわち,多湿材は気乾材に対し,比例限応力では約7.5 割,7.5 割,7.5 割,辺長の5% 圧縮応力では約7.0 割程度の値となつている。

なお、試験群別の各板ごとに求めた結果を整理すれば Table 14 の a, b, c, d のごとくなる。

Table 5・f つづき (多湿一多脂一衝撃曲げ) Results continued (M-V. R. from BI specimens)

			i			板番号	Strip N	lo.			**
			1	2	3	4	5	6	7	8	9
u	N Mean S.D. C.V.	% " %	4 50.9 5.3 10	5 47.4 4.6 10	38.6	5 36.2 4.6 13	53.6 6.2 12	4 60.9 2.6 3	5 52.2 5.6 11	5 61.7 10.0 16	4 35.6 2.4 7
R_n	N Mean S.D. C.V.	%	4 0.85 0.073 9	5 0.80 0.022 3	7 0.78 0.035 5	0.70	4 0.80 0.032 4	4 0.84 0.017 2	5 0.85 0.039 5	5 0.83 0.037 4	4 0.73 0.005
R_0	$ \begin{cases} N \\ Mean \\ S.D. \\ C.V. \end{cases}$	%	4 0.55 0.032	5 0.55 0.022 4		5 0.52 0.017 3		4 0.52 0.009 2	5 0.56 0.014 3	5 0.51 0.011 2	4 0.55 0.007
σ_p	$\begin{cases} N \\ Mean \\ S.D. \\ C.V. \end{cases}$	kg cm² " %	4 266 18 7	260 27 10	5 210 20 10	4 241 45 19	3 242 38 13	3 258 12 5	2 240 10 4	5 215 25 12	4 300 0 0
E	$ \begin{cases} N \\ Mean \\ S.D. \\ C.V. \end{cases}$	10 ³ kg/cm ² %	131 20 16	155 30 19	5 173 27 16	4 180 31 17	3 160 59 37	3 187 33 18	2 133 17 13	5 136 23 17	4 183 47 26
σ_m	N Mean S.D. C.V.	kg cm² " %	343 13 4	5 373 27 7	7 292 18 6	5 311 38 12	4 344 42 7	4 344 26 8	5 290 8 3	5 294 29 10	4 334 7 2
δ_m	N Mean S.D. C.V.	% " %	0.50 0.07 13	4 0.51 0.14 28	7 0.31 0.08 26	5 0.39 0.21 51	4 0.39 0.19 50	4 0.48 0.19 40	4 0.29 0.05 16	5 0.48 0.09 18	4 0.23 0.07 30

Table 6 セン断試験結果 (全) Results of shearing tests—S

		:	Air dry	7		Moist		S. R.	V. R.
		S. R.	V. R.	V. R./S. R.	S. R.	V. R.	V. R./S. R.	M/A	M/A
$egin{array}{c} ext{N} & ext{u} \ ext{R}_n & ext{R}_0 \ \end{array}$	%	70 15.5 0.67 0.58	141 14.0 0.70 0.61	0.90 1.04 1.05	62 51.0 0.83 0.55	59 41.0 0.75 0.53		3.29 1.24 0.95	2.93 1.07 0.87
$egin{array}{c} \mathbf{L}_{\mathcal{V}} \ \mathbf{T} \ \mathbf{H} \ \mathbf{ au} \end{array}$	kg/cm²/min °C % kg/cm²	27 16 73 108	30 12 70 105	1.11 0.75 0.96 0.97	28 11 72 84	33 9 81 66	1.18 0.82 1.13 0.79	1.04 0.69 0.99 0.78	1.10 0.75 1.16 0.63

Table 7・a 板別セン断試験結果 (気乾一少脂) Results of each strip (A-S. R.-S)

						<u> </u>							
	板番号 Strip No.												
		1	2	3	4	5	6	7	8				
$u \begin{cases} N \\ Mean \\ S.D. \\ C.V. \end{cases}$	% " %	5 16.0 1.0 6	13 15.5 0.7 4	9 15.0 0.9 6	11 15.5 0.4 3	6 14.5 0.4 3	9 14.5 0.3 2	5 14.5 0 0	12 14.5 0.6 4				
$R_n \ egin{cases} N \ Mean \ S.D. \ C.V. \end{cases}$	%	5 0.68 0.014 2	13 0.66 0.007 1	9 0.66 0.007 1	11 0.66 0.010 2	6 0.65 0.010 2	9 0.67 0.009 1		12 0.67 0.009 1				
$R_{0} \ \begin{cases} N \\ Mean \\ S.D. \\ C.V. \end{cases}$	%	5 0.58 0.007	13 0.57 0.007 1	9 0.57 0.007	11 0.56 0.024 4	6 0.56 0.014 3	9 0.58 0.026 5		12 0.59 0.010 2				
$ au \left\{ egin{array}{l} ext{N} \\ ext{Mean} \\ ext{S.D.} \\ ext{C.V.} \end{array} \right.$	kg cm² " %	5 107 5 5	13 109 7 7	9 101 16 14	11 105 7 7	6 107 12 11	9 113 11 9	5 106 10 9	12 109 9 8				

Table 7・b つづき (気乾一多脂) Results continued (A-V. R.-S)

						板番号	Strip No	o.			
			1	2	3	4	5	6	7	8	9
u	$ \begin{cases} N \\ Mean \\ S.D. \\ C.V. \end{cases}$	% " %	6 14.0 0.6 4	24 14.0 0.7 3	16 14.0 0.4 3	9 14.0 0.6 4	22 14.0 0.5 4	20 13.0 0.5 4	13 13.0 0.3	9 13.5 1.0 7	22 13.5 0.8 6
	$ \begin{cases} N \\ Mean \\ S.D. \\ C.V. \end{cases} $		6 0.68 0.021 3	24 0.70 0.021 3	16 0.66 0.019 3	9 0.63 0.014 2	22 0.61 0.004	20 0.81 0.088	13 0.74 0.010	0.69	22 0.68 0.022 3
R_0	Mean S.D. C.V.	%	6 0.59 0.015 3	24 0.61 0.019 3	16 0.58 0.019 3	9 0.55 0.014 3	22 0.54 0.042 8	20 0.67 0.026 4	13 0.66 0.007	9 0.61 0.027 4	22 0.60 0.005 1
τ	N Mean S.D. C.V.	kg/cm² " %	6 97 6 6	24 106 10 9	16 105 9 9	9 100 6 6	22 101 8 8	20 114 7 6	13 103 8 8	9 103 9 9 !	22 104 12 12

Table 7・c つづき (多湿一少脂) Results continued (M-S. R.-S)

			ı		板番	号 Strip	No.			
			1	2	3 !	4	5	6	7	8
u	N Mean S.D. C.V.	% " %	12 35.0 1.3 4	11 46.5 14.3 31	12 66.5 4.8 7	5 76.0 11.1 15		5 41.5 7.3 18	8 56.5 10.8 19	5 44.0 6.4 15
R_u	N Mean S.D. C.V.	%	12 0.75 0.030 4	11 0.84 0.090 11	12 0.91 0.030 3	5 0.94 0.030 3	4 0.81 0.030 4	5 0.78 0.020 3	8 0.82 0.060 7	5 0.76 0.040 5
R_{o}	$\begin{cases} N \\ Mean \\ S.D. \\ C.V. \end{cases}$	%	12 0.56 0.005	11 0.56 0.010 2	12 0.55 0.010 2	5 0.56 0.004	0.57	5 0.56 0.004 1	8 0.53 0.014 3	5 0.53 0.006
au	$\begin{cases} N \\ Mean \\ S.D. \\ C.V. \end{cases}$	kg cm² " %	12 83 10 13	11 85 6 8	12 85 9 11	5 86 7 9	4 85 5 6	. 5 90 8 9	8 81 5 6	5 79 5 6

Table 7・d つづき (多湿一多脂) Results continued (M-V. R.-S)

						板番号	Strip N	o.			
			1	2	3	4	5	6	7	8	9
u {	N Mean S.D. C.V.	% " %	7 36.5 4.8 13	4 34.5 0.6 2	2 34.0 0.3 1	5 43.5 4.2 10	4 41.0 1.0 2	18 45.0 12.9 29	4 36.5 0.4 1	7 50.0 8.9 18	8 36.0 1.7 5
R_u	N Mean S.D. C.V.	%	7 0.73 0.030 4	4 0.71 0.030 4	2 0.67 0.010 2	5 0.75 0.040 5	0.76 0.010	18 0.77 0.080 10	4 0.74 0.010 1	7 0.79 0.070 8	8 0.75 0.030 4
\mathbf{R}_{2}	N Mean S.D. C.V.	%	7 0.53 0.010 2	4 0.51 0.010 2	2 0.50 0 0	5 0.52 0.030 6	4 0.54 0.010	18 0.52 0.020 4	4 0.56 0.010 2	7 0.51 0.020 4	
au	N Mean S.D. C.V.	kg/cm² " %	7 63 9 14	4 69 5 7	2 62 1 2	5 74 11 15	4 82 9	18 68 6 9	4 48 2 4	7 67 14 21	8 60 8 14

Table 8. 静的曲げ試験結果 (全) Results of static bending test—BS

			Air dr	У		Moist		S.R.	V.R.
		S. R.	V. R.	V. R./S. R.	S. R.	V. R.	V. R./S. R.	M/A	M/A
N		25	43		45	45			
u	%	15.5	15.0	0.97	59.0	68.5	1.16	3.81	4.57
R_n	, -	0.68	0.69	1.04	0.86	0.90	1.05	1.26	1.30
R_0		0.59	0.61	1.03	0.54	0.53	0.98	0.92	0.87
L_{V}	kg/cm/min	90	95	1.06	90	60	0.67	1.00	0.63
D_{V}	cm/min	0.095	0.087	0.92	0.116	0.082	0.71	1.22	0.94
T	·°C	24	25	1.04	13	13	1.00	0.54	0.52
H	%	80	72	0.90	73	63	0.86	0.91	0.88
σ_{p}	kg/cm^2	645	590	0.91	500	400	0.80	0.78	0.68
É	$10^{3}kg/cm^{2}$	123	116	0.94	94	89	0.95	0.76	0.77
y_p	cm	0.27	0.26	0.96	0.25	0.22	0.88	0.93	0.85
σ_m	kg/cm^2	1055	1005	0.95	820	655	0.80	0.78	0.65
\mathbf{y}_m	cm	1.11	0.93	0.84	1.05	0.88	0.84	0.95	0.95

Table 9·a 板別静的曲げ試験結果 (気乾一少脂) Results of each strip (A-S. R.-BS)

					板番	号 Strip	No.			
			1	2	3	4	5	6	7	8
u {	N Mean S.D. C.V.	% " %	1 15.0 —	3 15.9 0.6 4	4 16.1 0.1	5 15.3 0.4 3	2 15.5 0.5 3	3 15.3 0.5 3	3 15.0 0.4 3	4 14.9 0.1 1
R_n $\left\{$	Mean S.D. C.V.	%	0.71 —	3 0.67 0.019 3	4 0.70 0.017 2	5 0.67 0.010 2	2 0.69 0.020 3	3 0.69 0.028 4	3 0.66 0.013 2	4 0.70 0.010 1
	Mean S.D. C.V.		0.62 — —	3 0.58 0.014 2	4 0.60 0.012 2	5 0.58 0.008	2 0.60 0.020 3	3 0.60 0.022 4	3 0.57 0.013 2	4 0.61 0.011 2
$\sigma_{p} \left\{ ight.$	N Mean S.D. C.V.	kg/cm² " %	615 —	3 587 158 27	4 673 115 17	5 675 68 10	2 648 92 14	3 728 75 10	3 532 46 9	4 600 33 6
		10 ³ kg/cm ²	1 135 — —	3 117 33 28	4 136 28 21	5 107 10 9	2 113 2 2	3 120 4 3	3 115 4 4	4 141 7 5
		kg/cm² " %	1 1110 —	3 982 37 4	4 1108 75 7	5 963 8 1	2 1093 88 8	3 1112 94 9	3 1027 54 5	4 1133 41 4
\mathbf{y}_m $\left\{ ight.$	N Mean S.D. C.V.	cm " %	0.82 — —	3 0.87 0.22 25	4 1.05 0.14 13	5 1.17 0.15 13	2 1.22 0.12 10	3 1.16 0.07 7	3 1.13 0.06 5	4 1.15 0.06 5

Table 9・b つづき (気乾一多脂) Results continued (A-V. R.-BS)

			I			板番号	Strip N	o.			
			1	2	3	4	5	6	7	8	9
1	N		5	5	5	5	5	5 ;	5	3	5
	Mean	%	17.2	16.1	14.4	14.8	15.0	14.5	14.1	15.3	14.4
u (S.D.	"	0.2	0.6	0.4	0.2	0.3	0.5	0.1	1.2	0.2
	c.v.	%	1	4	3	1	2	3	1	8	1
	N		5	5	5	5	5	5	5	3	5
R_n	Mean		0.73	0.66	0.70	0.66	0.66	0.72	0.73	0.68	0.71
IX ₁₆ V	S.D.		0.045	0.014	0.003	0.003	0.019	0.035	0.027	0.050	0.037
	c.v.	%	6	2	1	1	3	5	4	7	5
	N		5	5	5	5	5	5	5	3 .	5
$\mathbf{R}_{\mathtt{0}}$	Mean S.D.		0.62	0.57	0.61	0.57	0.57	0.63	0.64	0.59	0.62
10	S.D.		0.040	0.011	0.011	0.011	0.013	0.029	0.027	0.028	0.039
	c.v.	%	6	2	2	2	2	5	4	5	6
	N		4	5	5	5	5	5	5	3	5
_ (Mean	kg/cm^2	591	568	595	566	595	519	655	555	670
σρ	s.d.	"	60	150	88	69	73	70	98	130	120
	c.v.	%	10	26	15	12	12	14	15	23	18
	N		4	5	5	5	5	5	5	3	5
E '	Mean	$10^3 kg/cm^2$	126	112	148	93	95	126	133	108	103
Е	s.d.	"	15	13	27	11	12	29	17	21	15
	c.v.	%	12	12	18	12	13	23	13	19	15
	N		5	5	5	5	5	5	5	3	5
	Mean	kg/cm^2	982	969	1033	928	955	954	1102	990	1119
σ_m	S.D.	"	33	71	76	37	31	97	69	63	38
	c.v.	%	3	7	7	4	3	10	6	6	3
	N		5	5	5	5	5	5	5	3	5
**	Mean	cm	0.62	0.75	1.16	0.93	0.95	0.87	1.02	0.96	1.11
y_m	S.D.	"	0.20	0.03	0.15	0.17	0.15	0.35	0.53	0.15	0.23
	c.v.	%	33	5	13	18	15	40	52	16	21

Table 9・c つづき (多湿一少脂) Results continued (M-S. R.-BS)

					板番	号 Strip	No.			
			1	2	3	4	5	6	7	8
	(N		6	5	5	6	5	6	6	6
	Mean	%	59.5	54.1	59.8	66.1	59.1	57.2	53.3	60.8
u	s.D.	"	5.8	6.4	3.6	2.7	6.4	3.8	4.3	4.8
	c.v.	%	10	12	6	4	11	7	8	8
	(N		6	5	5	6	5	6	6	6
D	Mean		0.89	0.87	0.87	0.87	0.85	0.85	0.81	0.8
R_n	S.D.		0.031	0.034	0.026	0.027	0.025	0.016	0.040	0.0
	c.v.	%	4	4	3	3	3	2	5	3
	N		6	5	5	6	5	6	6	6
D	Mean		0.56	0.55	0.54	0.54	0.53	0.55	0.53	0.5
R_0	S.D.		0.015	0.005	0.005	0.027	0.027	0.016	0.015	0.0
	c.v.	%	3	Í	1	5	5	3	3	6
	N		6	5	5	6	5	6	6	6
	Mean	kg/cm²	535	535	495	513	449	526	444	490
σρ	S.D.	"	31	55	44	77	21	55	3	43
	c.v.	%	6	10	9	15	5 .	11	1	9
	N		6	5	5	6	5	6	6	6
E	Mean	$10^3 kg/cm^2$	91	102	100	96	96	94	90	85
E	S.D.	"	11	12	5	8	7	8	8	8
	c.v.	%	12	12	5	8	7	9	9	9
	N		6	5	5	6	5	6	6	6
	Mean	kg/cm^2	818	845	830	805	784	841	804	820
σ_m	S.D.	"	75	32	48	29	50	68	30	15
	c.v.	%	9	4	6	4	6	8	4	2
	N		6	5	5	6	5	6	6	6
**	Mean	cm	0.98	0.95	1.01	1.09	1.04	1.03	1.17	1.0
Ут	Mean S.D. C.V.	"	0.14	0.13	0.09	0.10	0.15	0.24	0.10	0.1
	c.v.	%	14	14	9	9	14	23	9	10

Table 9・d つづき (多湿―多脂) Results continued (M-V. R.-BS)

						板番号	Strip N	о.			
			1	2	3	4	5	6	7	8	9
	(N		5	5	0	5	5	5	5	5	4
	Mean	%	67.6	69.3	_	61.7	72.2	73.6	61.8	75.7	66.2
u (s.d.	"	2.0	3.1		4.2	2.7	8.3	2.6	7.6	2.5
	c.v.	%	3	5	_	7	4	11	4	10	4
	N		5	5	6	5	5	5	5	5	4
₹,, ⟨	Mean		0.95	0.91	0.87	0.83	0.88	0.90	0.91	0.94	0.8
C76 '	s.d.		0.043	0.028	0.025	0.010	0.008	0.039	0.024	0.049	0.0
	c.v.	%	5	3	3	1	1	4	3	5	2
	(N		5	5	0	5	5	5	5	5	4
₹, 4	Mean		0.56	0.54	_	0.51	0.50	0.51	0.53	0.52	0.5
×0 '	S.D.		0.020	0.016	_	0.012	0.013	0.018	0.040	0.037	0.0
	c.v.	%	4	3	_	2	3	4	8	7	3
	N		5	4	3	5	5	5	5	5	4
	Mean	kg/cm^2	423	423	450	345	377	391	419	358	446
τ_p	s.d.	"	32	38	0	34	38	44	40	56	4
	c.v.	%	8	9	0	10	10	11	10	16	1
	(N		5	4	3	5	5	5	5	5	4
_	Mean	$10^3 kg/cm^2$	78	92	82	95	93	94	87	86	90
E	S.D.	"	4	3	9	8	4	11	11	4	1.
	c.v.	%	5	3	11	8	4	12	13	5	1:
	N		5	5	6	5	5	5	5	5	
_	Mean	kg/cm^2	626	690	678	688	683	668	616	620	64
m	S.D.	"	50	74	60	37	16	70	51	41	1
	c.v.	%	8	14	9	5	2	11	8	7	
	N		5	5	6	5	5	5	5	5	
τ_m	Mean	cm	0.80	0.87	0.93	0.88	0.82	0.95	0.89	0.90	0.
m	s.d.	"	0.09	0.14	0.08	0.08	0.10	0.09	0.07	0.07	0.
	c.v.	%	11	16	9	9	12	10	8	8	1

Table 10 衝擊曲げ試験結果 (全) Results of impact bending tests (BI)

			Air dry	7		Moist		S. R.	V. R.
		S. R.	V. R.	V. R./S. R.	S. R.	V. R.	V. R./S. R.	M/A	M/A
N		25	43	_	39	43	_		_
u	%	16.0	15.0	0.94	54.0	64.0	1.19	3.38	4.27
R_n	*	0.67	0.71	1.06	0.86	0.90	1.05	1.28	1.27
R_0		0.58	0.62	1.07	0.55	0.54	0.98	0.95	0.87
Т	°C	21	21	1.00	12	12	1.00	0.57	0.57
H	%	80	83	1.04	63	57	0.90	0.79	0.69
a	% kg-m/cm²	0.85	0.72	0.85	0.75	0.63	0.84	0.88	0.88

Table 11·a 板別衝撃曲げ試験結果 (気乾一少脂) Results of each strip (A-S. R.-BI)

					板	番号 Str	ip No.			
			1	2	3	4	5	6	7	8
u	N Mean S.D. C.V.	% " %	1 15.5 —	3 15.5 0.2 2	4 15.5 0.8 2	5 16.0 0.7 4	2 15.5 0.9 6	3 15.5 0.5 3	3 15.0 0.2	4 15.0 0.2 1
R_n	Mean S.D. C.V.	%	0.73	3 0.69 0.020 3	4 0.68 0.020 3	5 0.67 0.070 10	2 0.68 0.030 5	3 0.69 0.020 3	3 0.64 0.010 2	4 0.67 0.030 4
R_0	N Mean S.D. C.V.	%	0.63	3 0.59 0.020 3	4 0.59 0.020 3	5 0.58 0.040 7	2 0.58 0.020 3	3 0.59 0.020 3	3 0.56 0.020 4	4 0.59 0.03 5
a	N Mean S.D. C.V.	kg-m/cm²	0.90	3 0.84 0.12 14	4 0.81 0.04 5	5 0.68 0.04 5	2 0.99 0.22 23	3 0.95 0.12 13	3 0.82 0.07 8	0.97 0.11 11

Table 11・b つづき (気乾一多脂) Results continued (A-V. R.-BI)

						板番	∄ Strip l	No.			
			1	2	3	4	5	6	7	8	9
u	N Mean S.D. C.V.	% "	5 16.5 0.6	5 14.5 0.6 4	5 14.0 0.3 2	5 14.5 0.4	5 15.0 0.7 5	5 15.0 0.5 3	5 14.0 0.5	3 13.5 2.5 2	5 14.0 0.4 3
R_u	Mean S.D. C.V.	%	5 0.75 0.050 7	5 0.71 0.070	5 0.69 0.030 4	5 0.66 0.010 2	5 0.64 0.020 3	5 0.80 0.100 12	5 0.72 0.030 4	3 0.69 0.010	5 0.69 0.040 6
R ₀	Mean S.D. C.V.	%	5 0.65 0.024 4	5 0.62 0.060	5 0.61 0.040 6	5 0.58 0.010 2	5 0.57 0.010 2	5 0.70 0.036 5	5 0.62 0.033 5	3 0.63 0.022 4	5 0.60 0.037 6
a ·	Mean S.D. C.V.	kg-m/cm² " %	5 0.43 0.14 34	5 0.58 0.14 24	5 0.81 0.16 19	5 0.68 0.14 20	5 0.69 0.14 20	5 0.49 0.13 26	5 0.93 0.10	3 0.93 0.06 6	5 1.00 0.15

Table 11・c つづき (多湿一少脂) Results continued (M-S. R.-BI)

			*		板看	番号 Stri	p No.			
			1	2	3	4	5	6	7	8
u	N Mean S.D. C.V.	% " %	5 51.5 4.7	5 57.5 7.2 13	5 54.5 2.0 4	4 58.0 4.3	5 54.0 4.2 8	5 52.5 1.5	5 50.5 7.0 14	5 56.0 5.0 9
R_n	N Mean S.D. C.V.	%	5 0.90 0.072 8	5 0.90 0.060 7	5 0.88 0.024 3	4 0.86 0.022 3	0.82 0.045 6	5 0.85 0.028	5 0.79 0.045 6	5 0.81 0.033 4
R_0	N Mean S.D. C.V.	%	5 0.60 0.017 3	5 0.57 0.014 2	5 0.57 0.022 4	4 0.54 0.017 3	5 0.53 0.014 3	5 0.54 0.026 6	5 0.53 0.014 3	5 0.55 0.014 3
a	N Mean S.D. C.V.	kg-m/cm² %	5 0.69 0.05 8	5 0.76 0.09 12	5 0.76 0.14 18	0.78 0.05 7	5 0.72 0.07 10	5 0.73 0.06 9	5 0.72 0.03 4	5 0.82 0.14 17

Table 11・d つづき (多湿―多脂) Results continued (M-V. R.-BI)

						板番	寻 Strip	No.			
			1	2	3	4	5	6	7	8	9
	N M	%	4 66.5	5	7	5 56.5	6 67.0	5 66.5	4 55.0	5 78.5	4 62.0
u	S.D. C.V.	%	1.0	3.2		2.9 5	5.0 7	2.9 4	2.6 5	4.7 6	2.8 5
R_n	$ \begin{cases} N \\ M \\ S.D. \end{cases} $		4 0.95 0.055	5 0.92 0.047	7 0.91 0.033	5 0.83 0.024	6 0.90 0.014	5 0.88 0.014	4 0.90 0.010	5 0.92 0.045	4 0.90 0.014
_	C.V.	%	6 4 0.58	5 5 0 . 57	4 7 0.55	3 5 0.53	2 6 0.55	2 5 0.52	1 4 0.56	5 5 0.52	2 4 0.56
R_0	S.D. C.V.	%	0.033	0.022 4	0.070 13	0.010	0.022	0.010 2	0.004	0.010	0.003
a	$ \begin{cases} N \\ M \\ S.D. \end{cases} $	kg-m/cm²	0.31 0.09	5 0.54 0.15	7 0.65 0.19	5 0.57 0.03	6 0.68 0.15	5 0.63 0.10	4 0.77 0.22	0.63 0.10	0.87 0.10
	C.V.	%	29	28	29	4	23	16	29	15	1 I

Table 12 横列張試験結果 (気乾一少脂) Results of tensile test perpendicular to grain-A-S. R.- T_r , T_t

	Loading of	direction	Ratio			Loading of	lirection	Ratio
	Т	R	R/T			T	R	R/T
$egin{array}{ccc} N & & & \% \ R_u & & R_0 \ L_V & kg/cm^2/min \ T & & C \ \end{array}$	10 15.5 0.72 0.63 12 17	10 15.7 0.66 0.56 14	1.01 1.01 0.92 0.89 1.16 1.00	$egin{array}{c} H & \sigma_{m p} & E & \delta_{m p} & \sigma_{m m} & \delta_{m m$	% kg/cm² 10°kg/cm² kg/cm² kg/cm² kg/cm²	69 23 5.6 0.40 52 1.57	71 44 10.2 0.43 83 1.07	1.03 1.91 1.82 1.08 1.60 0.68

Table 13. 横圧縮試驗結果(全)20×40×20 mm³ Result of compressive tests perpendicular to the grain—C_⊥

			Air dry	7		Moist		S. R.	V.R.
		S. R.	V. R.	V. R./S. R.	S. R.	V. R.	V. R./S. R.	M/A	M/A
N		40	38		64	60			
u	%	16.4	16.5	1.01	53.4	54.5	1.02	3.26	3.30
\mathbf{R}_{u}	, -	0.68	0.70	1.03	0.83	0.82	0.99	1.22	1.17
R_0		0.58	0.60	1.03	0.54	0.53	0.98	0.93	0.88
L_{v}	kg/cm²/min	19	19	1.00	20	20	1.00	1.05	1.05
Ť	°Ć	10	10	1.00	23	22	0.96	1.00	2.20
H	%	75	83	1.11	74	76	1.03	1.05	0.92
σ_p	kg/cm^3	41	35	0.85	32	25	0.78	0.78	0.71
É	$10^{3}kg/cm^{2}$	4.6	3.7	0.80	3.4	2.8	0.82	0.74	0.76
δ_p	%	0.92	1.01	1.10	0.99	0.97	0.98	1.08	0.96
σ_{ν}	kg/cm^2	59	53	0.90	43	32	0.74	0.72	0.60
\mathbf{E}_{y}^{s}	$10^3 kg/cm^2$	3.5	2.7	0.77	2.0	1.6	0.80	0.57	0.59
δ_y	%	1.72	2.02	1.17	2.29	2.00	0.87	1.33	0.99
σ_5	kg/cm^2	70	63.	0.90	51	38	0.75	0.73	0.60
σ'10	kg/cm_2	80	74	0.93	57	44	0.77	0.71	0.59

Table 14·a 板割横圧縮試験結果 (気乾一少脂) Results of each strip (A-S. R.-C₁)

	板番号 Strip No.									
	1	2	3	4	5	6	7	8		
$u \begin{cases} N \\ \text{Mean} & \% \\ \text{S.D.} & \% \\ \text{C.V.} & \% \end{cases}$	2 16.8 0.3 2	3 16.5 0	5 15.8 1.2 8	9 16.8 0.5 3	3 17.2 0.5 3	5 16.6 0.4 2	6 15.9 0.1	7 16.2 0.5 3		
$R_n \ \begin{cases} N \\ Mean \\ S.D. \\ C.V. \end{cases}$	2 0.72 0.005 7	3 0.70 0.034 5		9 0.66 0.012 2	3 0.68 0.026 4	5 0.69 0.019 3	6 0.65 0.031 5	7 0.69 0.023 3		
$R_{o} \ \begin{cases} N \\ Mean \\ S.D. \\ C.V. \ \% \end{cases}$	2	3	5	9	3	5	6	7		
	0.62	0.60	0.60	0.57	0.58	0.59	0.56	0.59		
	0.005	0.029	0.026	0.009,	0.026	0.021	0.025	0.028		
	8	5	4	2	4	4	4	5		
$\sigma_{p} egin{array}{ll} ext{N} & ext{Mean} & kg/cm^{2} \ ext{S.D.} & \mathscr{''} \ ext{C.V.} & \% \end{array}$	2	3	5	9	3	5	6	7		
	38	39	51	40	36	40	38	41		
	0	6	5	5	7	7	5	3		
	0	15	10	13	19	17	13	7		
$E = \begin{cases} N \\ Mean & 10^{3}kg/cm^{2} \\ S.D. & " \\ C.V. & % \end{cases}$	2	3	5	9	3	5	6	7		
	4.2	3.8	5.2	4.6	4.3	4.7	4.5	4.6		
	0.5	0.5	0.7	0.7	0.5	0.5	0.8	0.8		
	12	12	13	15	11	11	18	18		
$\sigma_y egin{array}{ll} ext{N} & ext{Mean} & ext{kg/cm}^2 \ ext{S.D.} & ext{\prime\prime} \ ext{C.V.} & ext{\%} \end{array}$	2	3	5	9	3	5	6	7		
	61	61	67	60	53	60	55	58		
	3	12	8	6	8	3	8	3		
	5	19	12	10	16	5	14	4		
$\delta_y egin{array}{ll} ext{N} & ext{Mean} & ext{\%} \ ext{S.D.} & ext{$\prime\prime$} \ ext{C.V.} & ext{$\prime\prime$} \end{array}$	2	3	5	9	3	5	6	7		
	1.92	2.09	1.54	1.66	1.71	1.80	1.60	1.76		
	0.29	0.31	0.12	0.20	0.21	0.24	0.18	0.22		
	15	15	8	12	12	13	11	13		
$\sigma_{5} egin{array}{ll} ext{N} & ext{Mean} & kg/cm^{2} \ ext{S.D.} & ext{$\prime\prime$} \ ext{C.V.} & ext{$\prime\prime$} \ \end{array}$	2	3	5	9	3	5	6	7		
	75	74	78	73	65	74	59	65		
	3	14	10	4	6	3	7	11		
	4	19	13	5	9	4	12	18		

Table 14・b つづき (気乾一多脂) Results continued (A-V. R.-C_L)

	板番号 Strip No.										
			1	2	3	4	5	6	7	8	9
	/ N		4	3	5	4	5	5	5	3	4
	Mean	%	16.1	16.2	15.9	16.4	16.9	16.1	16.2	17.7	16.3
u	S.D.	"	0.2	0.2	0.6	0.2	0.2	0.4	0.3	0.5	0.3
	C.v.	%	1	1	4	1	1	2	2	3	2
	N		4	3	5	4	5	5	5	3	4
D	Mean		0.73	0.66	0.71	0.66	0.64	0.73	0.75	0.69	0.71
\mathbf{R}_{u}	S.D.		0.051	0.037	0.008	0.007	0.039	0.034	0.021	0.079	0.021
	c.v.	%	7	6 ,	1	1	6	5	3	11	3
	N		4	3	5	4	5	5	5	3	4
R_{o}	Mean		0.64	0.57	0.61	0.57	0.53	0.63	0.64	0.58	0.61
$1\chi_0$	S.D.		0.043	0.034	0.004	0.007	0.039	0.032	0.016	0.069	0.018
	c.v.	%	7	6	1	1	7	5	2	12	3
	(N		4	3	5	4	5	5	5	3	4
σ_{p}	Mean	kg/cm^2	32	34	36	30	33	40	43	30	38
0 p	S.D.	//	1	3	2	5	2	8	7	3	7
	c.v.	%	3	8	7	18	7	20	17	11	18
	N		4	3	5	4	5	5	5	3	4
Е	Mean	$10^3 kg/cm^2$	3.2	3.4	3.8	3.2	3.4	4.2	4.5	3.1	3.6
בנ	S.D.	"	0.9	0.6	0.4	0.5	0.4	1.3	1.0	0.5	1.2
	C.v.	%	27	16	11	15	11	31	22	17	33
	(N		4	3	5	4	5	5	5	3	4
σ_y	Mean	kg/cm^2	51	49	54	44	49	58	62	49	55
o y	s.d.	"	6	2	4	7	3	6	4	6	8
	C.V.	%	12	4	7	16	5	11	7	12	14
	(N		4	3	5	4	5	5	5	3	4
δ_y	Mean	%	2.12	1.77	1.98	1.85	1.79	2.33	2.14	2.11	2.05
$\circ y$	S.D.	11	0.27	0.10	0.38	0.07	0.39	0.12	0.27	0.08	0.31
	C.V.	%	13	6	19	4	22	5	13	4	15
	N		4	3	5	4	5	5	5	3	4
σ5	Mean	kg/cm^2	63	59	65	54	55	67	73	61	67
U 5	S.D.	"	8	3	2	7	3	5	2	6	5
	C.v.	%	13	6	3	13	5	8	3	9	8

林業試験場研究報告 第97号

Table 14・c つづき (多湿一少脂) Results continued (M-S. R.-C_L)

		1		板	番号 Stri	ip No.			
		1	2	3	4	5	6	7	8
	(N	9	8	. 7	11	6	7	8	8
••	Mean %	56.1	53.6	50.8	56.3	52.3	52.1	51.0	54.6
u	S.D. "	6.5	3.8	9.6	4.0	4.0	4.6	6.0	3.8
	C.V. %	12	7	19	7	8	9	12	7
	(N	9	8	7	11	6	7	8	8
R_{u}	Mean	0.89	0.85	0.82	0.85	0.81	0.84	0.78	0.82
K _{2L}	S.D.	0.029	0.027	0.033	0.027	0.014	0.031	0.044	0.012
	C.V. %	3	3	4	3	2	4	6	1
	(N	9	8	7	11	6	7	8	8
R_0	Mean	0.56	0.55	0.55	0.54	0.53	0.55	0.52	0.53
\mathbf{R}_0	s.d.	0.012	0.011	0.024	0.017	0.019	0.022	0.022	0.008
	C.V. %	2	2	4	3	4	4	4	1
	N	9	8	7	11	6	7	8	8
	Mean kg/cm²	32	34	31	32	28	33	33	34
σ_p	S.D. "	5	5	7	3	3	3	4	3
	C.V. %	15	· 16	21	11	10	9	12	10
	(N	9	8	7	11	6	7	8	8
ъ.	Mean $10^3 kg/cm^2$	3.5	3.3	3.0	3.5	3.5	3.5	3.5	3.2
E	S.D. "	0.5	0.5	0.8	0.5	0.7	0.4	0.6	0.6
	C.V. %	15	16	25	13	20	11	17	19
	(N	9	8	7	11	6	7	8 ,	8
ar i	Mean kg/cm^2 S.D. $"$	44	57	41	42	38	45	41	42
σ_y	S.D. "	6	6	7	4	3	4	3	3
	C.V. %	14	11	16	9	9	9	8	7
	(N	9	8	7	11	6	7	8	8
δ_y	Mean %	2.26	2.40	2.30	2.23	1.78	2.22	2.35	2.69
o y	S.D. "	0.50	0.42	0.63	0.36	0.28	0.29	0.41	0.48
	C.V. %	22	17	27	16	16	13	17	18
	(N	9	8	7	11	6	7	8	8
~	Mean kg/cm²	54	53	49	50	46	55	48	48
σ_5	S.D. "	4	6	9	5	2	3	4	4
	C.V. %	7	12	18	9	5	6	8	8

Table 14・d つづき (多湿―多脂) Results continued (M-V. R.-C_L)

			板番号 Strip No.									
			1	2	3	4	5	. 6	7	8	9	
	(N		6	10	11	5	6	7	5	5	5	
	Mean	%	54.2	56.3	48.8	52.7	59.5	59.0	52.4	65.0	54.9	
u (S.D.	"	4.8	4.5	7.3	0.7	2.3	2.7	2.3	5.4	2.4	
	c.v.	%	9	8	15	1	4	5	4	8	4	
	(N		6	10	11	5	6	7	5	5	5	
D	Mean		0.86	0.85	0.81	0.78	0.81	0.82	0.84	0.83	0.82	
R_{n}	S.D.		0.046	0.045	0.042	0.024	0.016	0.025	0.017	0.015	0.016	
	c.v.	%	5	5	5	3	2	3	2	2	2	
	N		6	10	11	5	6	7	5	5	5	
R ₀	Mean		0.56	0.55	0.56	0.51	0.51	0.52	0.55	0.51	0.52	
K.	S.D.		0.027	0.019	0.015	0.013	0.009	0.018	0.005	0.020	0.007	
	c.v.	%	5	4	3	3	2	3	1	4	1	
	(N		6	10	11	5	6	7	5	5	5	
	Mean	kg/cm^2	26	24	23	24	25	28	23	24	24	
σ_p	S.D.	"	4	4	3	2	0	3	3	2	2	
	c.v.	%	16	16	12	9	0	10	13	10	10	
	(N		6	10	11	5	6	7	5	5	5	
Е	Mean	$10^3 kg/cm^2$	2.5	2.5	2.8	3.4	3.1	2.9	2.8	2.0	2.3	
E	S.D.	"	0.4	0.6	0.6	0.7	0.7	0.7	0.7	0.4	0.7	
	C.V.	%	17	26	22	21	24	22	26	18	29	
	(N		6	10	11	5	6	7	5	5	5	
σ_y	Mean	kg/cm^2	34	32	28	32	33	36	29	31	31	
o y	S.D.	//	6	5	3	4	2	5	4	4	0	
	c.v.	%	17	16	12	12	7	14	13	12	0	
	N		6	10	11	5	6	7	5	5	5	
δ_y	Mean	%	2.57	2.02	1.73	1.80	1.89	1.78	1.65	2.20	2.25	
o y	S.D.	"	0.32	0.41	0.37	1.35	0.40	0.50	0.32	0.22	0.29	
	C.V.	%	12	20	21	19	21	28	19	10	13	
	N		6	10	11	5	6	7	5	5	5	
σ5	Mean	kg/cm^2	40	40	36	38	39	42	38	38	36	
- 0	S.D.	"	7	5	3	3	3	5	4	4	1	
	c.v.	%	17	11	8	9	7	11	10	9	3	

Table 15 横圧縮試験結果(気乾一少脂)30×30×60 mm³ Results of compressive tests perpendicular to the grain—A-S. R.-C_c, C₄₅, C_t

			1	G	roup]		!	G	roup I	I		
			Loadi	Loading direction			tio	Loadi	ng dir	ection	Ra	tio
			T	45	R	45/T	R/T	Ť	45	R	45/T	R/T
	N		5	 5	5	_	_	5	5	5	_	_
	u	% .	15.2	15.5	14.8	1.02	0.97	15.6	16.0	15.4	1.03	0.99
	R_u	•	0.60	0.60	0.60	1.00	1.00	0.67	0.67	0.69	1.00	1.03
	R_0		0.52	0.52	0.52	1.00	1.00	0.59	0.58	0.59	0.98	1.00
	L_{V}	kg/cm²/min	4.9	4.0	5.1	0.82	1.04	4.5	4.1	5.4	0.91	1.20
	\mathbf{T}	°C	16	18	15	1.13	0.94	20	20	19	1.00	0.95
	H	%	71	58	67	0.82	0.94	73	75	69	1.03	0.95
ſ	σ_p	kg/cm² 10³kg/cm² %	17	19	28	1.12	1.65	18	24	30	1.33	1.67
M. E. {	${\mathop{\mathrm{E}}^{\sigma}}_{\delta_{p}}$	$10^{3}kg/cm^{2}$	3.0	5.0	8.5	1.67	2.83	4.4	6.2	8.6	1.41	1.95
l	δ_p	%	0.54	0.38	0.34	0.70	0.63	0.42	0.43	0.35	1.02	0.83
($\sigma_{\boldsymbol{v}}$	kg/cm^2	19	25	35	1.32	1.84	25	29	39	1.16	1.56
1	$\overset{\sigma_{p}}{\mathrm{E}}$	$10^3 kg/cm^2$	2.8	3.9	6.7	1.39	2.39	3.1	4.3	5.9	1.39	1.90
ì	δ_{p}	%	0.68	0.65	0.52	0.96	0.76	0.81	0.67	0.67	0.83	0.83
D. G.		kg/cm^2	30	42	50	1.40	1.67	44	48	55	1.09	1.25
D. G.	$\overset{\sigma_{m{y}}}{\mathrm{E}_{m{y}}}$	$10^3 kg/cm^2$	1.8	2.7	5.3	1.50	2.94	2.5	3.4	5.1	1.36	2.04
1	δ_y	%	1.7	1.6	0.9	0.94	0.53	1.8	1.4	1.1	0.78	0.61
	σ5	kg/cm^2	41	50	55	1.22	1.34	58	56	66	0.97	1.14
(σ_{10}	kg/cm^2	46	56	57	1.22	1.24	67	64	71	0.96	1.06

Table 16 部分圧縮試験結果 (気乾一少脂) Results of partial compressive tests perpendicular to the grain—A-S. R.-CP, CP, CP,

		Loading direction			Ra	tio			Loadii	ng dir	ection	Ratio
		Т	45	R	45/T	R/T			T	45	R	45/T R/T
N u R _n R ₀ L _V Τ Η σ _p	% kg/cm²/min °C % kg/cm²	10 15.1 0.61 0.53 6.9 24 53 42	10 15.6 0.63 0.55 7.8 20 53 48	10 15.5 0.61 0.53 7.8 25 53 54	1.03 1.03 1.04 1.13 0.83 1.00 1.14	1.03 1.00 1.00 1.13 1.04 1.00 1.29	$ \begin{array}{c} E \\ \delta_{p} \\ \sigma_{y} \\ E_{y} \\ \delta_{y} \\ \sigma_{5} \\ \sigma_{10} \end{array} $	10 ³ kg/cm ² % kg/cm ² 10 ³ kg/cm ² % kg/cm ² kg/cm ²	2.8 1.49 52 1.9 2.7 67 91	4.2 1.17 62 2.8 2.3 84 110	5.0 1.09 64 3.3 2.0 84 107	1.50 1.79 0.79 0.73 1.19 1.23 1.47 1.74 0.85 0.74 1.25 1.25 1.21 1.18

Table 17 カタサ試験結果 (気乾一少脂) Results of hardness tests A-S. R.- H_l , H_r , H_t

		Loading d	irection	Ratio			
	L		Т	R	T/L_{II}	R/L _{II}	R/T
	Group I	Group II	1		1/21	IC/D _{II}	
N	10	10	10	10			
u	15.5	15.7	15.1	15.5	0.96	0.99	1.03
R_n	0.72	0.66	0.61	0.61	0.92	0.92	1.00
R_0	0.63	0.56	0.53	0.53	0.95	0.95	1.00
${f T}$	17	17	24	25	1.41	1.47	1.04
Н	69	71	53	53	0.75	0.75	1.00
Hardness	6.3	4.7	0.9	1.1	0.19	0.23	1.22
	1	1					

つぎに、3cm 型規格試験体の結果を整理し、Table 15 に示す。 $Group\ I$ は気乾比重が約 0.60 の場合であり、 $Group\ II$ は約 0.67 の場合である。荷重方向別の諸性質を比較すれば、比例限ならびに降伏点における変形度は、板目、45 度、柾目方向の順に小さくなるが、他の諸性質は逆に板目、45 度、柾目方向の順に大きくなる傾向がみられる。とくにヤング係数の異方性が大きい。

なお、変形量の測定を Mirror extensometer によっておこなった場合と、Dial gage によっておこなった場合とを比較すれば、どの荷重方向でも、Mirror extensometer による方が、比例限応力および比例限変形度は小さいが、 ヤング係数は大きくなっている。 また、 $20\times40\times20\,mm^3$ 試験体と $30\times30\times60\,mm^3$ 試験体の Dial gage による変形度を比較する際は、 両試験体の標点距離の比が 1 対 3 であることに注意しなければならない。

222.3 部分圧縮試験 (CP_r, CP_t, CP_{rt} = CP₄₅)

3cm 型規格試験体による気乾,少脂材の場合のみであり,前項の横圧縮試験体の Group I とほとんど同じ部材から木取つたものである。その試験結果は Table 26 i に示す。荷重方向別に整理し、諸性質を比較すれば Table 16 のごとくなる。 横圧縮の場合と同じく、 比例限ならびに降伏点における変形度は、板目、45 度、 柾目方向の順に小さくなるが、他の諸性質は反対に板目、45 度、 柾目の順に大きくなる傾向を示す。ただ、辺長の5% ならびに 10% 部分圧縮応力は、 柾目方向と 45 度方向の間にほとんど 差がみとめられない。

横圧縮の Group I の Dial gage 測定の結果と比較すれば、部分圧縮における応力—歪曲線は、弾性域から塑性域への転移が漸進的になり、降伏点があまり明確でなくなる。また、比例限応力は部分圧縮の方が大きく、横圧縮の約 1.5 倍から 2.2 倍の値を示しているが、比例限における変形量の絶対値はあまり大差がみとめられない。また、塑性変形域における 5% 横圧縮応力と、10% 部分圧縮応力とを比較すると、両者の変形量の絶対値は等しいが、応力は部分圧縮の方が約 2 倍程度大きくなつている。

なお、この試験に用いた材料の気乾比重は約 0.60 程度で、アピトン材としては非常に小さい方に属するため、やや過小の結果を示していると思う。

222.4 カタサ試験 (H_l, H_r, H_t)

規格試験体による試験はおこなわなかつたが、 同様の要領で、 さきに述べた横引張試験体の木口面で H_{l} を求め、部分圧縮試験体の荷重面付近で H_{r} および H_{r} を求めた。 試験結果は Table $26 \cdot f$, i に それぞれ付記してある。荷重方向別に整理し、方向別の比を求めれば Table 17 のごとくなる。木口面のカタサの結果が 2 つあるのは、板目方向引張試験体(Group II)と柾目方向引張試験体(Group II)の比重がかなり異なつているため、 H_{l} の間に相当大きな差がみとめられたからである。 Group II の H_{l} と H_{r} , H_{r} をくらべれば、カタサの値は木口面、板目面、柾目面の順に小さくなつている。また、Group II の H_{l} で,気乾の少脂材の縦圧縮強さを割るとその値は約 100 となる。 さらに、 H_{l} , H_{r} で対応する荷重方向 5% 部分圧縮応力を割ると約 75 となる。

22.3 収縮試験

223.1 試験方法

収縮試験に使用した試験体は $10 \cdot 25 \cdot 50 \, mm^3$ の立方体で、繊維方向が $50 \, mm$ である。柾目方向試験体は柾目方向を $25 \, mm$ 、板目方向を $10 \, mm$ とし、板目方向試験体は板目方向を $25 \, mm$ 、柾目方向を $10 \, mm$ とした。供試材としては少脂 S.R., 多脂材 V.R.。の板をえらび、各材から上記の $2 \, 方向の試験体を$

3個ずつ木取つた。

処理方法としては多湿→含水率 4%→気乾→吸湿→飽水→全乾の順である。すなわち,多湿状態にある 試験体を寸法,重量の測定後, H_2SO_4 の 60% 溶液が入つたデシケータ中に入れ, 約 60 日間処理して 含水率約 4%程度に乾燥した。つぎにこれを清水の入つたデシケータに移し,吸湿処理をしたら約 30 日 で含水率が 30% 近くにもどつたので,さらに清水に浸漬し飽水処理をおこなつた。この処理を約 60 日間つづけたのち全乾処理をおこなつた。

寸法の則定には 1/100mm 精度のシックネス・メーターを用い,重量の測定には感度 1/1000gr. の化学 天秤を用いた。

223.2 収縮率の計算

この測定における収縮率の計算は次式によった。

全収縮率 (total shrinkage):
$$\alpha = \frac{l_1 - l_3}{l_1} \times 100\%$$

含水率 1% に対する平均収縮率 (shrinkage per 1% moisture content)

$$\bar{\alpha} = \frac{l_2 - l_3}{ul} \times 100\%$$

$$l$$
 の算出式: $l = \frac{\mathbf{u}l_3 + 15(l_2 - l_3)}{\mathbf{u}}$

式 中

l₁=最初の寸法 (original dimension)

l₂=気乾時の寸法 (dimension when air dry)

l₃=全乾時の寸法 (dimension when over dry)

 $u=l_2$ を測定した時の気乾含水率 (moisture content at l_2)

l=含水率 15% の換算寸法 (calculated dimension at 15% m. c.)

223.3 収縮試験結果 (α_r, α_t)

少脂材および多脂材の収縮試験結果を Table 18 の a および b に示す。 板目方向, 柾目方向における全収縮率および平均収縮率の値はいずれも多脂材の方がやや大きくなつている。

Table 18・a 少脂材の収縮率 Shrinkage of slightly resinous wood

Mark		柾目	方向試験 Radial	体		板目方向試験体 Tangential				
Wark	P. No.	u %	R_0	α _r %	ā _r %	P. No.	u %	R_0	α t %	ā t %
(1 1	99.6	0.55	5.89	0.17	1	97.5	0.57	13.23	0.28
S. R. 4	2	100.0	0.54	6.28	0.18	2	105.0	0.54	13.20	0.29
l	3	101.3	0.55	6.12	0.19	3	95.8	0.57	13.47	0.28
Me	an	100.3	0.55	6.10	0.18	Mean	99.4	0.56	13.30	0.28

Mark			 方向試験(Radial	本	板目方向試験体 Tangential					
	P. No.	u %	R_0	α _r %	α,- %	P. No.	u %	Ro	α _t %	ā t %
ſ	1	106.4	0.54	8.68	0.19	· 1	112.5	0.54	16.70	0.33
V. R. 6	2	106.0	0.55	9.29	0.24	2	108.3	0.55	16.20	0.31
	3	106.8	0.55	9.44	0.21	3	107.4	0.55	16.75	0.33
Mea	an	106.4	0.55	9.14	0.21	Mean	109.4	0.55	16.55	0.32

Table 18・b 多脂 材 の 収 縮 率 Shrinkage of very resinous wood

3. 試験結果の総括

ここに用いた強度試験試料の基本的関係材質を Table 19 の a, b に示す。 この材の気乾比重は少脂材で 0.55-0.65-0.75, 多脂材で 0.55-0.70-0.85 程度であり、多脂材の方がやや重い。 この材料を気乾および多湿の水分状態に処理し、縦強度、横強度等を求めた。

各種縦強度の平均値や,相互間の関係常数を Table 20 の a, b に示す。 多脂材と少脂材を比較する e, 両者の差は気乾状態よりむしろ多湿状態の場合に明瞭である。すなわち, 圧縮強さ e0 の e0, 引張強さ e0 の e0, 静的曲げ破壊係数 e0 の e0, 引張強さ e0 等は気乾状態では両者の間にほとんど差がみとめられないが,多湿状態では多脂材の方が約2 割程度低減している。なお,衝撃曲げ吸収エネルギーは気乾でも多湿でも多脂材の方が低い値を示している。

また、気乾および多湿の水分状態差が強度的性質におよぼす影響をみれば、多脂材も少脂材も、多湿状態の場合に小さな値を示している。

				Relate	ed prop	erties	(Mear	n value)				
試験の	試験体	浸	乾少脂 A-S.R.	•	凤	乾多脂 A-V.R			湿少脂 M-S.R	•	多	湿多脂 M·V.I	·材 R.
種類 Kind of test	個数	含水率	気乾 比重	全乾 比重	含水率	気乾 比重	全乾比重	含水率	気乾 比重	全乾 比重	含水率	気乾 比重	全乾 比重
		и %	R_n	R_0	u %	R_n	R_0	и %	R_n	R ₀	u %	R ₁₁	R_0
m		1											
T_{\parallel}	225	15.0		0.53	14.5	0.60	0.52	39.5	0.76	0.54	34.0	0.74	0.56
\mathbf{C}_{1}	255	16.0	0.67	0.58	15.0	0.68	0.59	46.0	0.80	0.54	48.0	0.80	0.54
S	332	15.5	0.67	0.58	14.0	0.70	0.61	51.0	0.83	0.55	41.0	0.75	0.53
BS	158	15.5	0.68	0.59	15.0	0.69	0.61	59.0	0.86	0.54	68.5	0.90	0.53
$_{ m BI}$	150	16.0	0.67	0.58	15.0	0.71	0.62	54.0	0.86	0.55	64.0	0.90	0.54
T_{R}	10	15.7	0.66	0.56			_					_	
T_{T}	10	15.5	0.72	0.63			_			_	_	_	_
C_{\perp}	202	16.4	0.68	0.58	16.5	0.70	0.60	53.4	0.83	0.54	54.5	0.82	0.53
C_R - I	5	14.8	0.60	0.52		_			_				-
C_{T} -I	5	15.2	0.60	0.52	_	_		_			_	-	_
C45- I	5	15.5	0.60	0.52			-				_	_	_
C_R - Π	5	15.4	0.69	0.59		_							
C_{T} - Π	5	15.6	0.67	0.59				-					
C_{45} - Π	5	16.0	0.67	0.58	_			-					_
CP_R	10	15.5	0.61	0.53	_	_		. —					
CP_T	10	15.1	0.61	0.53				i		_			
CP_{45}	10	15.6	0.63	0.55			_			_	_		
				1	1			ı					1

Table 19・a 試料の性質 (平均値) Related properties (Mean value)

Table 19・b 試料の性質 (範囲) Related properties (Range)

Group	u %	R_n	R ₀
A-S.R.	13.5-17.5	0.55-0.74	0.44 - 0.64
A-V.R.	11.5-18.0	0.56-0.88	0.45 - 0.76
M-S.R.	24.5-94.0	0.67-1.01	0.48 - 0.62
M-V.R.	22.0-89.5	0.61-1.02	0.45 - 0.66

Table 20・a 縦方向の強度的性質 (平均値) Mechanical properties parallel to the grain (Mean)

	σC	σ Τ	σ_{BS}	$\mathrm{E}_{\mathcal{C}}$	\mathbf{E}_{T}	E_{BS}	σp.C	σ_{p} . T	$\sigma_{p \cdot BS}$	au	а	$W_{p\cdot C}$	$W_{p,T}$
	kg/cm²	$ kg/cm^2 $	kg/cm²	103 kg /cm²	103kg /cm2	10 ³ kg /km ²	kg/cm²	kg/cm^2	kg/cm^2	kg/cm²	kg- m/cm²	kg-cm /cm ⁴	
A-S.R.	470	1725	1055	1.00	170	123	220	1175	645	108	0.85	0.36	4 1
A-V.R.	470 475	1765	1055	166 188	178 198	1116	330 400	1260	590	105	0.72	0.35	4.1 4.1
M-S.R.	390	1215	820	158	161	94	300	910	500	84	0.75	0.31	2.6
M-V.R.	320	1090	, 655 !	161	164	89	245	775	400	66	0.63	0.20	1.9
A-V.R./S.R.		1.02	0.95	1.13	1.11	0.94	1.21	1.07	0.91	0.97	0.85	1.25	1.00
M-V.R./S.R.	0.82	0.90	0.80	1.02	1.02	0.95	0.82	0.85	0.80	0.79	0.84	0.65	0.73

Table 20 · b 相 互 関 係 常 数 Ratios between mechanical properties

Group	q β	γ	ως ωτ		$C \qquad \qquad \rho_{T}$		$\varepsilon_{T.C}$ ε_{BSC} ε_{BST}
Group	$\sigma_T/\sigma_C \frac{\sigma_{BS}}{\sigma_{AS}}$	$c^{-\sigma_n/\tau}$	$\sigma_C/\mathrm{E}_C\sigma_T/\mathrm{E}$	$T \stackrel{\sigma_{BS}}{/\mathcal{E}_{BS}} \stackrel{\sigma_{p}}{}.$	$\begin{pmatrix} c & \sigma_{P} \cdot T \\ /\sigma_{C} & /\sigma_{C} \end{pmatrix}$	$\sigma_{C \cdot BS} / \sigma_{BS}$	$\mathbf{E}_{T}/\mathbf{E}_{C} \frac{\mathbf{E}_{BS}}{/\mathbf{E}_{C}} \frac{\mathbf{E}_{BS}}{/\mathbf{E}_{T}}$
A-S.R. A-V.R. M-S.R. M-V.R.	8.7 2.2 3.7 2.1 3.1 2.1 3.4 2.0	4.5 4.6	0.00280.009 0.00250.008 0.00250.000 0.00200.006	39 0.0087 0. 5 0.0087 0.	84 0.71 77 0.75	0.59 0.61	1.02 0.59 0.58

さらに、ヤング係数をみると、圧縮(Ec)および引張(Er)の間にはほとんど差がみとめられないが、静的曲げ(Ess)の場合はいちじるしく低下し、前二者の約6,7割程度になつている。これは、恐らくこの材のセン断弾性係数やセン断強さが他の性質にくらべて低いことや、曲げの携み測定精度が Mirror extensometer の場合にくらべ劣つていることなどによるものと思われる。つぎに、関係常数 q, β , γ 等をみると、全平均は q=3.6, $\beta=2.1$, $\gamma=4.6$ となり、気乾、多湿、少脂、 多脂等の試験群別の差はあまりみとめられない。なお、これらの値が、各試験群の板別ではどのような値を示すかをみると、 Table 21 の a, b, c のごとくなる。q の値が A-S.R. の1の板でとくに大きくなつているのは、 Table β 3・ α からわかるように、引張試験体の比重が大きいため、 β が高い値を示したことによる。また、比例限応力と破壊応力の比(β) は、圧縮以外は比較的安定しており、静的曲げではどの場合も約0.60、引張では約0.70、圧縮では0.70から0.85程度になつている。 β は最大応力とヤング係数の比を示すのみでなく、直線比例域における応力—歪線と、破壊応力をとおり、変形軸(歪軸)に平行に引いた直線との交点に対応する変形量(変形度)を示すので、この値と比例限変形量(変形度)、最大変形量(変形度)等を比較すれば、応力—歪関係の内容がかなり具体的に把握できるわけである。 静的曲げの場合は0.0075から0.0085程度、圧縮の場合は約0.0020から0.0030、引張の場合は0.0065から0.0095程度になつている。

Table 21・a 板別にみた q の値 q values of each strip.

Group				板番号	Strip	No.				Mean	S. D.	c. v.
	 1	2	3	4	5	6	7	8	9	Mean	J. D.	%
A-S.R. A-V.R. M-S.R. M-V.R.	5.6 3.1 3.3 3.7	4.1 3.1 2.8 2.9	4.5 4.6 3.4 3.7	3.4 3.5 3.9 3.8	3.9 4.0 3.2 3.8	3.7 3.5 2.7 2.7	3.6 3.6 3.1 3.6	2.9 4.0 3.1 4.1	3.8 — 4.1	4.0 3.7 3.2 3.6	0.76 0.38 0.35 0.46	19.0 10.3 10.9 12.8

Table 21・b 板別にみた β の値 β values of each strip.

Group	1				坂番号	Strip	No.				Mean	S. D.	C. V.
-		1	2	3	4	5	6	7	8	9	_		%
A-S.R. A-V.R. M-S.R. M-V.R.	1	2.5 2.1 2.1 2.0	2.0 1.9 2.1 2.0	2.5 2.5 2.3 2.0	2.2 2.1 2.1 2.0	2.3 2.2 2.2 2.0	2.3 1.9 2.0 2.0	2.1 2.1 2.1 2.1	2.1 2.2 2.1 2.1	2.1 - 2.0	2.3 2.1 2.1 2.0	0.17 0.17 0.08 0.06	7.4 8.1 4.0 3.2

Table 21 · c 板別にみた γ の値 γ values of each strip.

Group				板番号	Strip	No.				Mean	S. D.	c. v.
	1	2	3	4	5	6	7	8	9			%
A-S.R. A-V.R. M-S.R. M-V.R.	4.2 4.9 4.6 4.9	4.1 4.7 4.7 5.1	4.3 4.0 4.3 5.0	4.2 4.4 4.4 4.6	4.4 4.3 4.2 4.1	4.4 4.6	4.6 5.1 4.8 6.1	4.9 4.3 4.9 4.4	5.2 5.2	4.4 4.6 4.6 4.9	0.24 0.38 0.23 0.53	5.5 8.3 5.0 10.8

Table 22・a 横方向の強度的性質 (平均値) Mechanical properties perpendicular to the grain.

Kind of test	Dr	operties	了 Loadii	斯重方向 ng dire	ction		比 Ratio	
Time of test			板 T	45° 45	柾 R	板工	45° 45	柾 目 R
Tension · {	$egin{array}{c} { m E} \\ {\sigma}_{m p} \\ {\delta}_{m p} \\ {\sigma}_{m m} \end{array}$	10 ³ kg/cm² kg/cm² % kg/cm² %	5.6 23 0.40 52 1.57		10.2 44 0.43 83 1.07	100 100 100 100 100	 	182 191 108 160 68
Compression Group I	$\mathbf{E}_{\sigma_{\mathcal{P}}}$ $\delta_{\mathcal{P}}$	10³kg/cm² kg/cm² %	3.0 17 0.54	5.0 19 0.38	8.5 28 0.34	100 100 100	167 112 70	283 165 63
$Group \Pi$	$egin{array}{c} { m E} \\ {\sigma}_p \\ {\delta}_p \end{array}$	10³kg/cm² kg/cm² %	4.4 18 0.42	6.2 24 0.43	8.6 30 0.35	100 100 100	141 133 102	195 167 83
Partial compression	$egin{array}{c} \sigma_{m p} \ \delta_{m p} \ \sigma_{m 5} \ \sigma_{m 10} \end{array}$	kg/cm² % kg/cm² kg/cm²	42 1.49 67 91	48 1.17 84 110	54 1.09 84 107	100 100 100 100	114 79 125 121	129 73 125 118
Hardness	H_B	kg/mm^2	0.9		1.1	100		122

Table 22・b 横引張と横圧縮の比較 (平均値) Comparison of tension and compression 上 to the grain.

Loading direction	u. _T /u. _C	$R_{n \cdot T}/R_{n \cdot C}$	$R_{0}{T}/R_{0}{C}$	$\mathrm{E}_{T}/\mathrm{E}_{C}$	$\sigma_{p.T}/\sigma_{p.C}$	$\delta_{p.T}/\delta_{p.C}$
R (柾目方向)	1.02	0.96	0.95	1.19	1.47	1.23
T (板目方向)	0.99	1.07	1.07	1.27	1.28	0.95

Table 23 強度的性質の異方性 Anisotropie of mechanical properties.

Kind of test	Dr	operties			荷重方向 ing direc	ction		比 Ratio	
Kidd of test	110	operties	:	長 軸 L	柾 R	板工目	長 軸 L	征 R	板工目
(u	%		15.0	15.7	15.5	100	105	103
	R_n			0.60	0.66	0.72	100	110	120
1	R_0			0.53	0.56	0.63	100	106	119
Tension	\mathbf{E}	$10^{3}kg/cm^{2}$		178	10.2	5.6	100	6	3
1 ension	σ_p	kg/cm^2	- 1	1175	44	23	100	4	2
	δ_p	%		0.63	0.43	0.40	100	68	63
	σ_m	kg/cm^2		1725	83	52	100	5	3
L t	δ_m	%		0.99	1.07	1.57	100	108	159
Ċ	u	%		16.0	15.4	15.6	100	96	97
	R_n			0.67	0.69	0.67	100	103	100
C	R_0			0.58	0.59	0.59	100	102	102
Compression {	E	$10^3 kg/cm^2$		166	8.6	4.4	100	5	3
	σ_p	kg/cm^2		330	30	18	100	9	6
()	δ_p	%	i	0.21	0.35	0.42	100	167	200
	ú	%	Ì	15.7	15.5	15.1	100	99	96
Handmaga	\mathbf{R}_{n}	•	- 1	0.66	0.61	0.61	100	92	92
Hardness {	R_0			0.56	0.53	0.53	100	95	95
	H_B	kg/mm^2		4.7	1.1	0.9	100	23	19

Table 24 収 縮 率 Shrinkage

Group			全収縮率 l shrink	age				に対する3 ge per 19	平均収縮 % m.c.	率
Group	$lpha_t$	α,. %	α_t/α_r	$\alpha_t + \alpha_r$ %	$\alpha_t - \alpha_r$	$\bar{\alpha}_t$ %	ā₁ %	$\bar{\alpha}_t/\bar{\alpha}_r$	$\bar{\alpha}_t + \bar{\alpha}_r$	$\bar{\alpha}_t - \bar{\alpha}_r$ %
S. R. V. R. V.R./S.R.	13.30 16.55 1.24	6.10 9.14 1.50	2.18 1.81 0.83	19.40 25.69 1.32	7.20 7.41 1.03	0.28 0.32 1.14	0.18 0.21 1.17	1.55 1.52 0.98	0.46 0.53 1.15	0.10 0.11 1.10

Table 25 フイリツビンにおける試験結果との比較 Comparison of results in this report (J.) with that tested in Philippine (P.).

ge % Tangential
Green Air-dry to to oven- air-dry dry
air-dry dry
6.7 4.9
14.92
1.29
air

Table 26·a 縦引張試験結果(全) Result of tensile tests parallel to the grain—T_l.

		試料の性質 記憶 Related properties Test co					条件 ndition	=	 		広力— Stress-strai	歪関係 n relations	3	
Mark		u			L_{V}	D_{V}	Т	Н	σ_p	E	δ_p	W_{p}	σ_m	δ_m
_		%	R _u	R ₀	kg/cm² /min	%/min	°C	%	kg/cm²	$10^3 kg/cm^2$	%	kg-cm/cm ³	kg/cm²	%
A-S.R. / (気乾) / 少胎)	N Range Mean S.D. C.V.%	36 17.0-14.0 15.0 0.6 4	36 0.72 - 0.51 0.60 0.03 6	39 0.63 – 0.44 0.53 0.03 6	36 230-160 188 19	36 0.18-0.08 0.11 0.02 19	39 21.1-13.0 18.5 2.0 11	39 84 – 61 73 7 10	34 1700 — 700 1175 260 22	34 226-136 178 20 11	34 0.89-0.47 0.63 0.10	34 7.5-2.1 4.1 1.3 33	38 2485 – 1020 1725 370 22	30 1.28-0.73 0.99 0.14 14
A-V.R. (気乾) (多脂)	N Range Mean S.D. C.V.%	103 17.0 — 13.0 14.5 0.9 6	103 0.72 - 0.51 0.60 0.05 8	103 0.63 - 0.47 0.52 0.04 8	102 230 – 105 170 25 25	100 0.12-0.06 0.09 0.01 14	103 21.5-15.5 19.0 2.0	103 90-60 81 6 7	100 1925 — 595 1260 270 21	100 264-99 198 31 16	100 0.86-0.33 0.64 0.12	100 7.2-1.0 4.1 1.4 35	103 2685 — 845 1765 400 23	81 1.25-0.62 0.93 0.16 17
M-S.R. (多湿) (少脂)	N Range Mean S.D. C.V.%	47 53.5 - 26.5 39.5 7.0 18	47 0.88 - 0.67 0.76 0.04 5	47 0.61 - 0.48 0.54 0.02 4	44 420-160 275 65 24	37 0.31-0.11 0.18 0.04 22	47 22.3-10.7 14.0 3.0 22	47 94 – 66 88 6 7	46 1230 — 590 910 160 17	46 235-126 161 19 12	0.78 - 0.35 0.57 0.08 14	46 4.0-1.3 2.6 0.7 28	47 1825 — 1005 1215 225 19	1.20-0.63 0.85 0.13
M-V.R. (多湿) (多脂)	N Range Mean S.D. C.V.%	35 49.0 – 26.0 34.0 5.0 15	35 0.81 - 0.61 0.74 0.04 5	35 0.62 - 0.47 0.56 0.03 5	35 430 – 130 270 75 27	34 0.30-0.09 0.19 0.06 29	35 17.8-11.2 14.0 2.0 16	35 94 – 87 92 2 3	32 985 – 400 775 155 20	32 236-122 164 23 14	32 0.70-0.30 0.47 0.09 19	32 3.2-0.6 1.9 0.6 33	35 1420 — 660 1090 185 17	30 1.46-0.59 0.84 0.19 22

Table 26·b 縦 圧 繃 試 験 結 果(全) Results of compressive tests parallel to the grain—C_I.

;			料の性質 ed prope	<u> </u>		式験 Test co	条件	sis para	iner to t.	ne grain-		応力— ress-strai		ons	-	
Mark		u %	R_n	R_0	${ m L}_V \ kg/cm^2$	Dy	T °C	Н %	σ_p kg/cm^2	E 10 ³ kg /cm ²	δ_p	W_p kg - cm $/cm^2$	σ_m kg/cm^2	δ m	σ _m /Ε %	$\sigma_{m p}/\sigma_m$
A-S.R. (気乾) 少脂)	N Range Mean S.D. C.V.%	34		34 0.61 -0.55 0.58 0.02 3	34 112 – 82 93 8 9	33	34 30.4 -22.9 28.0 0.9 3	34	34 485 – 200 330 73 22	34	34	34	34 545 – 385 470 39 8	33 0.90 -0.31 0.55 0.15 26		34 0.90 -0.48 0.70 0.12
A-V.R. (気乾) (多脂)	N Range Mean S.D. C.V.%	48 17.0 -12.5 15.0 1.1 7		48 0.75 -0.51 0.59 0.06 10	48 120-79 96 7 8	48 0.134 -0.034 0.075 0.022 30	48 28.6 -22.6 25.5 1.8 7	48 90-67 82 5 6	47 500 – 280 400 55 14	47 300 – 115 188 44 23	47 0.53 -0.16 0.22 0.04 19	47 0.77 -0.26 0.45 0.12 28	48 560 – 410 475 45 9	48 0.63 -0.18 0.36 0.11 30	47 0.45 -0.17 0.26 0.06 22	47 0.99 -0.62 0.84 0.08
M-S.R. (多湿) (少脂)	N Range Mean S.D. C.V.%	85 61.5 -29.0 46.0 9.0 20		85 0.61 -0.48 0.54 0.02 4	85 99-44 66 9	85 0.177 -0.038 0.075 0.023 31	85 21.2 -12.8 17.0 2.0	85 81 - 45 64 9 14	68 450 — 175 300 45 16	68 266 – 101 158 38 24	68 0.32 -0.11 0.20 0.06 27	68 0.58 -0.12 0.31 0.11 37	85 470 – 330 390 30 8	85 1.00 -0.20 0.44 0.13 29		68 1.00 -0.48 0.76 0.12 15
M-V.R. (多湿) (多脂)	N Range Mean S.D. C.V.%	87 77.5 -22.0 48.0 11.9 25		87 0.60 -0.49 0.54 0.03 5	87 91 – 48 68 10 14	83 0.220 -0.035 0.086 0.038 44	86 23.8 -12.1 16.6 3.6 22	86 79 – 50 70 6 9	74 325 — 170 245 40 15	74 253 — 104 161 40 25	74 0.29 -0.08 0.16 0.05 29	74 0.43 -0.08 0.20 0.07 35	88 420 — 250 420 35 11	83 1.17 -0.16 0.41 0.15 37		74 0.97 -0.52 0.74 0.10

Table 26・c セン断試験結果 (全) Results of shearing tests—S

			icourts o	i snearing	icsis -5			
			試料の性質 ted proper		Т	試験条件 est conditio	n.	
Mark		u	R_u	R_{o}	L_{V}	T	H	au
		%	ICN		kg/cm²/mir	°C	%	kg/cm²
A-S.R. (気乾) (少脂)	N Range Mean S.D. C.V.%	70 17.5-14.0 15.5 0.7 5	70 0.69 – 0.64 0.67 0.03 5	70 0.60-0.50 0.58 0.02 4	70 38-17 27 6 23	70 16.8-13.2 16.0 4.4 29	70 77 – 55 73 7 9	70 126-71 108 11 10
A-V.R. (気乾) (多脂)	N Range Mean S.D. C.V.%	141 16.0-11.5 14.0 0.7 5	141 0.86-0.57 0.70 0.07 11	141 70.77-0.50 0.61 0.06 10	141 48-16 30 5 18	141 16.5-5.8 12.0 3.6 30	141 81 – 64 70 4 6	141 134-69 105 12 12
M-S.R. (多湿) (少脂)	N Range Mean S.D. C.V.%	62 94.0-33.0 51.0 15.5 31	62 0.01 - 0.70 0.83 0.09 10	62 00.58 – 0.52 0.55 0.05 8	62 39-21 28 5 17	62 15.0-8.5 11.0 2.5 23	62 80-66 72 5 6	62 105 — 59 84 9 11
M-V.R. ((多湿) (多脂)	N Range Mean S.D. C.V.%	59 84.0-25.5 41.0 10.0 23	59 0.75 0.08 11	59 60.59-0.50 0.53 0.03 6	59 42-26 33 5 15	59 9.7-7.8 9.1 0.9 10	59 86 – 72 81 7 8	59 91 – 31 66 13 19

横強度関係の平均値ならびに板目方向の値 (T) に対する他の方向の比較を Table 22 の a に示す。ヤング係数および各種の応力は板目,45 度,柾目方向(R) の順に大きくなつている。なお,横引張と横圧縮を比較すれば,Table 22 の b に示すごとく,柾目,板目の両方向とも,ヤング係数および比例限応力は横引張の方が大きくなつている。また,局部的圧縮荷重に対する性能をみれば,部分圧縮,カタサ試験の結果からわかるように,板目面の方が柾目面より2割程度強い。気乾材と多湿材の比較や,多脂材と少脂材の比較は20・40・20 mm³ 試験体による横圧縮の場合のみであるが,Table 13 からわかるように,比例限ならびに降伏点における変形度以外の諸性質は,多湿材より気乾材が大きく,多脂材よりは少脂材の方が大きくなつている。

さらにまた、この材の強度的諸性質の異方性についてみると、Table 23 に示すごとく、縦方向 (L) のヤング係数、応力等が大きいのにくらべ、横方向 (R,T) ではきわめて小さいことがわかる。すなわち、ヤング係数では引張、圧縮とも、L:R:T が大約 100:5:3 程度の値になつている。なお、破壊変形度を引張についてみると、L:R:T が大約 100:110:160 となり、板目方向が最も大きくなつている。

なお、収縮率については、試験体数がきわめて僅かであるが、Table 24 のごとく、柾目、板目の両方向とも、全収縮率(α) および平均収縮率($\bar{\alpha}$) は多脂材の方が少脂材より大きくなつている。また、板目方向と柾目方向の収縮率をくらべれば、板目方向の値が全収縮率では約2倍、平均収縮率では約1.5倍程度となつている。しかし、この材は収縮べりはするが、いわゆる狂いは比較的少ない材のようにみうけられる。最後に、ここで求めた結果 (J.) をフイリッピンで試験した結果 (P.)—Philippine Woods; by Louis

Table 26・d 静的曲げ試験結果 (全) Results of static bending tests—BS

		試 Relate	料の性 d prop			試験 Fest co		1	応力—歪関係 Stress-strain relations				s
Mark		u		_ : _		$\mathrm{D}_{\mathcal{V}}$	Т	Н	σ_p	Е	y_p	σ_m	\mathbf{y}_m
		%	R _n	Ro	kg/cm² min		°C	%	kg/cm²	10 ³ kg /cm ²	cm	kg/cm²	cm
A-S.R.	N Range			25 0.65			25 25.4	25 85 – 73	25 890	25 184	25 0.38		25 1.52
(気乾) {	Mean S.D.	-14.5 15.5 0.6	0.68	0.59	90 7	-0.043 0.095 0.018	24.0	80 2	645 110	123 22	0.27 0.07	1055 75	1.11 0.18
A-V.R.	C.V. N Range			3 43 0.68		19 42 0.143	3 43 28.6	3 43 80 – 63	25 42 770	18 42 185	25 42 0.42	7 43 1200	16 43 1.32
(気乾) 多脂)	Mean S.D.	-14.0 15.0 1.0	0.69 0.04	0.61	95 9	0.087 0.023	25.0	72 5	590 110	-77 116 26	0.26	1005 90	0.93 0.25
MOD	C.V.	6 45 67.0	6 45 0,92	6 45 0.58	10 45 108	27 45 0.155	3 45 15.5	6 45 81 – 56	18 45 630	22 45 119	27 45 0.35	9 45 970	26 45 1.38
M-S.R. (多湿) (少脂)	Range Mean S.D.	-46.0 59.0 5.5					-10.4 13.0 0.6	81 – 56 73 7	- 425 500 55	- 79 94 10	-0.20 0.25 0.04		-0.58 1.05 0.16
(C.V.	9 39	4 45	3 39	10 39	18 39	4 45	9 45	11 41	10 41	14 41	6 45	25 45
M-V.R. (多湿) (多脂)	Range Mean	89.5 -58.0 68.5	-0.81 0.90	0.58 -0.48 0.53	88 36 60	0.002	13.0	63	400	89	-0.15 0.22	655	0.88
	S.D. C.V.	6.7 10	0.05	0.03 5	15 22	0.022 27	3.5 26	9 15	50 13	11 12	0.04	59 9	0.11

Table 26·e 衝撃曲げ試験結果 (全) Results of impact bending tests—BI

			試料の性質 ted proper		試験组 Test co		
Mark		u	R_n	R_0	Т	Н	a
		%		·	C°	%	kg-m/cm²
(N	25	25	25	25	25	25
A-S.R.	Range				20.5-20.5	80-80	12.0-0.63
(少脂)	Mean	16.0	0.67	0.58	20.5	80	0.85
気乾/	S.D.	0.8	0.06	0.07	0	0	0.14
ţ	C.V.%	5	8	12	0	0	17
ſ	N	43	43	43	43	43	43
A-V.R.	Range	17.0 - 13.5	0.88 - 0.62	0.76 - 0.55	21.4-20.6	85 - 8 0	1.29 - 0.18
(気乾) 〈多脂〉 〈	Mean	15.0	0.71	0.62	21.0	83	0.72
多脂/	S.D.	1.1	0.06	0.05	1.0	4	0.23
(C.V.%	7	8	8	5	4	32
ſ	N	39	39	39	39	39	39
M-S.R.	Range	70.0 - 42.5	0.96 - 0.74	0.62 - 0.51	12.4-11.4	74 - 57	1.05 - 0.41
/多湿\ {	Mean	54.0	0.86	0.55	12.0	63	0.75
〜――	S.D.	6.4	0.05	0.05	0.7	7	0.11
ţ	C.V.%	12	6	8	6	11	14
ſ	N	36	43	43	43	43	43
M-V.R.	Range	85.5 - 53.0	1.00 - 0.79	0.60 - 0.51	12.6-8.8	72 - 53	1.02-0.18
(多湿)	Mean	64.0	0.90	0.54	12.0	57	0.63
多脂/	S.D.	8.8	0.00	0.04	2.2	9	0.19
,	C.V.%	14	5	8	8	16	30

	Table 25 · f	横引張試験結果	(気乾一少胎)
--	--------------	---------	---------

		Ŕe	sults of ter	sile tests	perpendicu	lar to the	grain—Ai	r dry—sli	ghtly resin	$ous - T_r$, T	t		الحداجد المأام و
荷重方向	Ī	Rel	試料の性質 ated proper	ties	$T\epsilon$	試験条件 est conditi	on	· 	Stress	ふ力一歪関係 -strain rela	tions		Hardness
Loading		u	1		L_{V}	T	Н	σ_p	E	δ_p	σ_m	δ_m	H ₂
direction		%	\mathbf{R}_{n}	R_0	kg/cm² /min	°C	%	kg/cm²	$10^3 kg/cm^2$	%	kg/cm²	%	kg/mm²
	N	10	10	10	10	10	10	10	10	10	10	10	10
	Range		0.69-0.63	0.59 - 0.54	19-9	18 - 16	78 - 62	50 - 35	10.9-9.2	0.53 - 0.36			5.5 - 4.4
柾目方向	Mean	15.7	0.66	0.56	14	17	71	44	10.2	0.43	83	1.07	4.7
Radial	S.D.	0.2	0.02	0.01	3	1	5	5	0.5	0.05	4	0.14	0.3
	C.V.%	2	3	2	19	6	7	10	5	11	5	13	6
ĺ	N	10	10	! 10	10	10	10	10	10	10	10	10	10
let et al cala	Range	15.5-15.5	50.74 - 0.70	0.64 - 0.61	15-6	19-16	71 - 67	25 - 20	6.3 - 5.1	0.47 - 0.34	58 - 47		6.6-6.0
板目方向	Mean	15.5	0.72	0.63	12	17	69	23	5.6	0.40	52	1.57	6.3
Tangential	S.D.	. 0	0.02	0.01	2	1	2	2	0.4	0.03	3	0.19	0.2
(C.V.%	0	2	2	8	6	. 2	7	7	8	6	. 12	4

Table 26·g 横圧縮試験結果 (全)

			Resul	ts of comp	oressive 1	tests per	pendicu	lar to th	e grain-	-20.40.20 n					
a tamana		Rela	試料の性質 ted proper	ties	Tes	試験条件 t condit	ion			Str	応力一 ess-stra	·歪関係 in relatio			
Mark		u			L_{V}	T	H	σ_p	E	δ_{p}	σ_y	\mathbf{E}_{y}	δ_y	σ_5	σ_{10}
		%	R_n	R_0	kg/cm² /min	°C	%	kg/cm²	10 ³ kg /cm ²	%	kg/cm²	$10^3 kg$ /cm ²	%	kg/cm²	kg/cm²
1	N	40	40	40	40	40	40	40	40	40	40	40	40	40	40
A-S.R.	Range	17.5-14.0				12-8	86 – 58	57 - 31	6.2-3.1	1.24 - 0.64			2.38-1.38		105 – 50
(気乾)	Mean	16.4	0.68	0.58	19	10	75	41	4.6	0.92	59	3.5	1.72	70	80
(S.D.	0.7	0.03	0.03	1	1	6	6	0.8	0.16	8	0.6	0.26	10	10
(9/16/	C.V.%	4	5	4	5	10	8	15	17	17	14	17	15	14	13
}	N	38	38	38	38	38	38	38	38	38	38	38	38	38	38
A-V.R.	Range	18.0-15.5	0.80 - 0.59	0.68 - 0.49	22-19	15 - 5	87 - 61	54 - 25	6.6-2.1	1.76 - 0.71			2.61 - 1.36		90-60
(気乾)	Mean	16.5	0.70	0.60	19	10	83	35	3.7	1.01	53	2.7	2.02	63	74
(多脂))	S.D.	1.5	0.05	0.05	1 1	3	6	7	1.0	0.22	8	0.5	0.32	8	8
(2)1117	C.V.%	9	7	8	5	30	7	20	27	22	15	19	16	13	11
ì	N	64	64	64	64	64	64	64	64	64	64	64	64	64	64
M-S.R.		66.5 - 33.0	0.92 - 0.73	0.58 - 0.48	23 - 17	27 - 19	86-54	39 - 18		1.47 - 0.63			3.44 - 1.19		70-40
(多湿)	Mean	53.4	0.83	0.54	20	23	74	32	3.4	0.99	43	2.0	2.29	51	57
【歩籠】	S.D.	6.0	0.04	2	1	2	9	5	0.6	0.22	5	0.4	0.49	13	11
() ()	C.V.%	11	5 .	4	5	9	12	16	18	22	12	20	21	12 60	11 60
ſ	N	60	60	60	60	60	60	60	60	60	60	60	60		60 – 35
M-V.R.	Range	70.5 - 36.5	0.91 - 0.72	0.59 - 0.48	22-17	25 - 18	86 – 58	32 - 18					2.99-1.28	38	44
/多湿\ <	Mean	54.5	0.82	0.53	20	22	76	25	2.8	0.97	32	1.6	2.00	JO 1	- 44
(多湿) 〈 多脂) 〈	S.D.	5.7	0.04	0.02	1	2	6	4	0.7	0.25	5	0.4	0.44	1.1	ى 11
,, ,,,, (C.V.%	11	5	4	5	9	8	16	25	26	16	25	22	11	11

Table 26 · h 横圧縮試験 Results of compressive tests perpendicular to the grain

Group	荷重方向 Loading		Rela	試料の性質 ated proper	ties	試験条件 Test condition			
Group	direction		u	!	_	L_{V}	Т	H	
			%	R_u	$\mathbf{R}_{\scriptscriptstyle{0}}$	kg/cm² min	°C	%	
		N	5	5	5	5	5	5	
(柾目方向	Range		0.0.61 - 0.60			15 — I5	71 - 66	
	Radial	Mean	14.8	0.60	0.52	5.1	15	67	
	Radiai	S.D.	0.5	0.01	0.01	0.2	0	2	
	\	C.V.%	3	1	1	4	0	3	
	(_ N	5	5	5	5	5	5	
ļ	板目方向	Range		0.61 - 0.60			18 - 15	74 - 66	
I {	Tangential	Mean	15.2	0.60	0.52	4.9	16	71	
	1 dingonitian	S.D.	0.2	0.01	0.01	0.7	1	3	
	}	C.V.%	2	1	1	13	8	4	
		N	5	5	5	5	5	5	
	45度方向	Range		0.0.61 - 0.60			19-18	60 - 55	
	45°	Mean	15.2	0.60	0.52	4.0	18	58	
`		S.D.	0.3	0.01	0.01	0.2	1	2	
	\	C.V.%	2	1	1	5 :	2	3	
	(_ N	5	5	5	5	5	5	
(柾目方向	Range		0.69-0.68			19-19	70-69	
	Radial	Mean	15.4	0.69	0.59	5.4	19	69	
		S.D.	0.2	0.01	0.01	0.1	0	I	
[]	· ·	C.V.%	1	1	1	1	0	1	
1		N	5	5	5	5	5	5	
	板目方向			0.69-0.68			20-20	75 — 70	
Π $\{$	Tangential	Mean	15.6	0.69	0.59	4.5	20	73	
i i		S.D.	0.2	0.01	0.01	0.3	0	2	
)	C.V.%	1	1 1	1 1	8	0	3	
ļ		N	5	5	5	5	5	5	
	45度方向	Range		0.68-0.67			20-20	75 – 74	
{	45°	Mean	16.0	0.67	0.58	4.1	20	75	
1		S.D.	0	0.01	0	0.2	0	1	
	<u> </u>	C.V.%	0	1	0	6	00	. 1	

荷重方向			試料の性質 ted propert	ies	Te	試験条件 st condition	1
Loading direction		u	R_n	R_0	L_V	T	Н
		%	.,	v	kg/cm^2	°C	%
	N	10	10	10	10	10	10
柾目方向	Range	16.0-15.0	0.62 - 0.59	0.54 - 0.51	8.5-6.7	25 - 23	63 - 51
Radial	Mean	15.5	0.61	0.53	7.8	25	53
Radiai	S.D.	0.3	0.01	0.01	0.6	1	4
	C.V.%	2	2	2	8	3	7
[]	N	10	10	10	10	10	10
板目方向	Range	15.5 - 15.0	0.62 - 0.59	0.54 - 0.52	7.4 - 6.2	26 - 19	56 - 51
Tangential	Mean	15.1	0.61	0.53	6.9	24	53
Tangentiai	S.D.	0.1	0.01	0.01	0.4	3	2
\j	c.v.%	1	2	1	6	11	3
ſ '	N	10	10	10	10	10	10
45度方向	Range	16.0-15.0	0.66 - 0.60	0.57 - 0.52	8.6 - 6.6	20 - 20	53 - 53
45度万间 {	Mean	15.6	0.63	0.55	7.8	20	53
43	S.D.	0.4	0.02	0.02	0.5	0	0
	C.V.%	2	3	3	7	0	0

結果 (気乾一少脂) —Air dry—Slightly resinous—30.30.60 mm^3 — C_r , C_t , C_{45}

1					一歪関係 ain relati	ons				
	応力一歪i ror exter	関係 isometer				応力 一 盃 oy dial				
σ_p	E	δ_{p}	σ_p	E	δ_p	σ_y	\mathbf{E}_{y}	δ_y	σ^5	σ10
kg/cm²	$10^3 kg$ $/cm^2$	%	kg/cm^2	$10^3 kg$ $/cm^2$	%	kg/cm²	$10^3 kg$ $/cm^2$	%	kg/cm²	kg/cm²
5	5	5	5	5	5	5	5	5	5	5
		0.37 - 0.29		7.2 - 6.40						
28	8.5	0.34	35	6.7	0.52	50	5.3	0.9	55	57
1	0.5	0.03	1	0.3	0.01	2	0.3	0.1	. 1	1
3	6	9	3	4	2	3	6	5	2	2
5	5	5	5	5	5	5	5	5	5	5
18-16	3.2 - 2.8	0.57 - 0.51					2.0 - 1.7	1.7-1.6	42 - 39	48 - 44
17	3.0	0.54	19	2.8	0.68	30	1.8	1.7	41	46
1	0.1	0.02	1	0.2	0.09	1	0.1	0.1	1	1
3	4	4	7	9	13	1	6	2	3	2
5	5	5	5	5	5	5	5	5	5	5
		0.42 - 0.34			0.75 - 0.56	43 - 40	2.9 - 2.5		51 - 49	
19	5.0	0.38	25	3.9	0.65	42	2.7	1.6	50	56
1	0.2	0.03	2	0.2	0.07	l	0.1	0.1	1	1
† 5	4	7	6	5	11	3	5	6	1	1
5	5	5	5	5	5	5	5	5	. 5	5
		0.38 - 0.33					5.8 - 4.4	1.3-0.9	, 00 00	
30	8.6	0.35	39	5.9	0.67	55	5.1	1.1	66	71
0	0.1	0.02	3	0.2	0.04	1	0.5	0.1	1	1
0	. 2	6	8	4	5	3	9	10	1	1
5	5	5 ,	5	5	5	5	5	5	5	5
		0.48 - 0.39							. 0, 0,	
18	4.4	0.42	25	3.1	0.81	44	2.5	1.8	58	67
1	0.1	0.03	i	0.1	0.06	l	0.2	0.1	1	1
4	3	8	3	4	7	2	10	. 6	2	1
5	5	5	5	5	5	5	5	5	5	5
		0.44 - 0.30					3.6-3.1		58 - 55	
24	6.2	0.43	29	4.3	0.67	48	3.4	1.4	56	64
2	0.3	0.04	0	0.1	0.02	1	0.2	0.1	1	1
10	5	10	0	3	3	2	6	5	. 2	2

結果 (気乾一少脂) —Air dry—slightly resinous—30.30.150 mm³—CP, CP, CP, CP,

		St		一歪関係 iin relations				
σ_{p}	E	δ_p	σ_y	\mathbf{E}_y	δ_y	σ_5	σ ₁₀	Hardness
kg/cm^2	$10^3 kg/cm^2$	%	kg/cm²	$10^3 kg/cm^2$	%	kg/cm^2	kg/cm^2	
10	10	10	10	10	10	10	10	10
60 - 50	6.3 - 4.4	1.26 - 0.90	70 - 57	4.0 - 2.8	2.3 - 1.7	91 - 76	113-102	1.3-0.9
54	5.0	1.09	64	3.3	2.0	84	107	1.1
3	0.5	0.10	4	0.3	0.2	5	4	0.1
5	10	9	6	10	8	6	4	12
10	10	10 .	10	10	10	10	10	10
44 - 37	3.1-2.7	1.62 - 1.34	54 - 47	2.1 - 1.8	3.0-2.4	71 - 61	98 - 83	1.0-0.8
42	2.8	1.49	52	1.9	2.7	67	91	0.9
3	0.1	0.10	3	0.1	0.2	3	4	0.1
6	5	7	5	5	7	5	5	7
10	10	10	10	10	10	10	10	1
54 - 40	5.0 - 3.2	1.36-1.01	70 - 54	3.4 - 2.2	2.5 - 1.9	92 - 74	121 - 101	
43	4.2	1.17	62	2.8	2.3	84	110	i
4	0.7	0.11	5	0.4	0.2	6	7	
8	16	9	9	15	10	7	6	1

J. Reyes— と比較するため、多脂と少脂の区別をやめて平均値で示せば Table 25 のごとくなる。比重がほとんど等しいにもかかわらず、曲げヤング係数と部分圧縮比例限応力以外の諸性質は、フィリツピンの結果よりかなり大きくなつている。

4. 摘 要

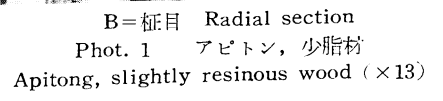
以上述べた試験結果から、この材の材質的特性を摘記すればつぎのごとくなる。

強度的性質の異方性が非常につよい材である。すなわち、縦方向の強度やヤング係数は、本邦産の同比重の広葉樹と大差がなく、相当大きな値を示すにもかかわらず、横方向ではきわめて小さく針葉樹程度である。とくに横方向の局部的圧縮荷重に対しては、ブナ、ナラ等の一般広葉樹よりかなり劣り、いわゆるボルトのききのよくない材である。さらに、この材をボルト締めするとき、比例限度を超えると油脂分が遂出してくる場合があるので、塗装の際は注意しなければならない。

衝撃曲げに対しては、比重が大きいわりには弱く、かつ、その値は最大値と最小値の差が大きく、いわゆるネバリのない材である。

曲げヤング系数(曲げ剛性)の絶対値はさほど小さくはないが、引張や圧縮のヤング係数にくらべて非常に低減しており、また、 セン断強さが縦圧縮強さにくらべて小さいこと(また、E/G が非常に大きい材であるが、これについては他の機会に述べる。) などから、梁の設計の場合には注意を必要とする材である。

多脂材と少脂材の比較については、単に肉限的な観察により選別したにすぎないのと、横強度関係の比較試験を 20・40・20 mm³ の横圧縮試験でおこなつたのみであるので、必ずしも定量的に結論づけるわけにはゆかないが、概括的にはつぎのことがいえよう。両材の差は多少の例外はあるが気乾状態よりむしろ多湿状態の場合に判然としている。すなわち、縦圧縮、縦引張、セン断、静的曲げ等の破壊応力や衝撃曲げ吸収エネルギーを多湿状態でみれば、いずれも少脂材の方が多脂材より約1~2割程度大きな値を示しているが、気乾状態では衝撃曲げ吸収エネルギー以外の値はあまり明確な差を示していない。しかし、縦引張、縦圧縮のヤンが係数における両材の差は、多湿の場合はほとんどないが、気乾の場合は多脂材の方が少脂材より約1割程度大きくなつている。また、横圧縮ではどの水分状態でも、変形度は多脂材の方が大きいが、ヤンが係数や応力は少脂材の方が大きい。このほか、収縮率は柾目、板目の両方向とも多脂材の方が大きいが、比較的狂いの少ない材である。

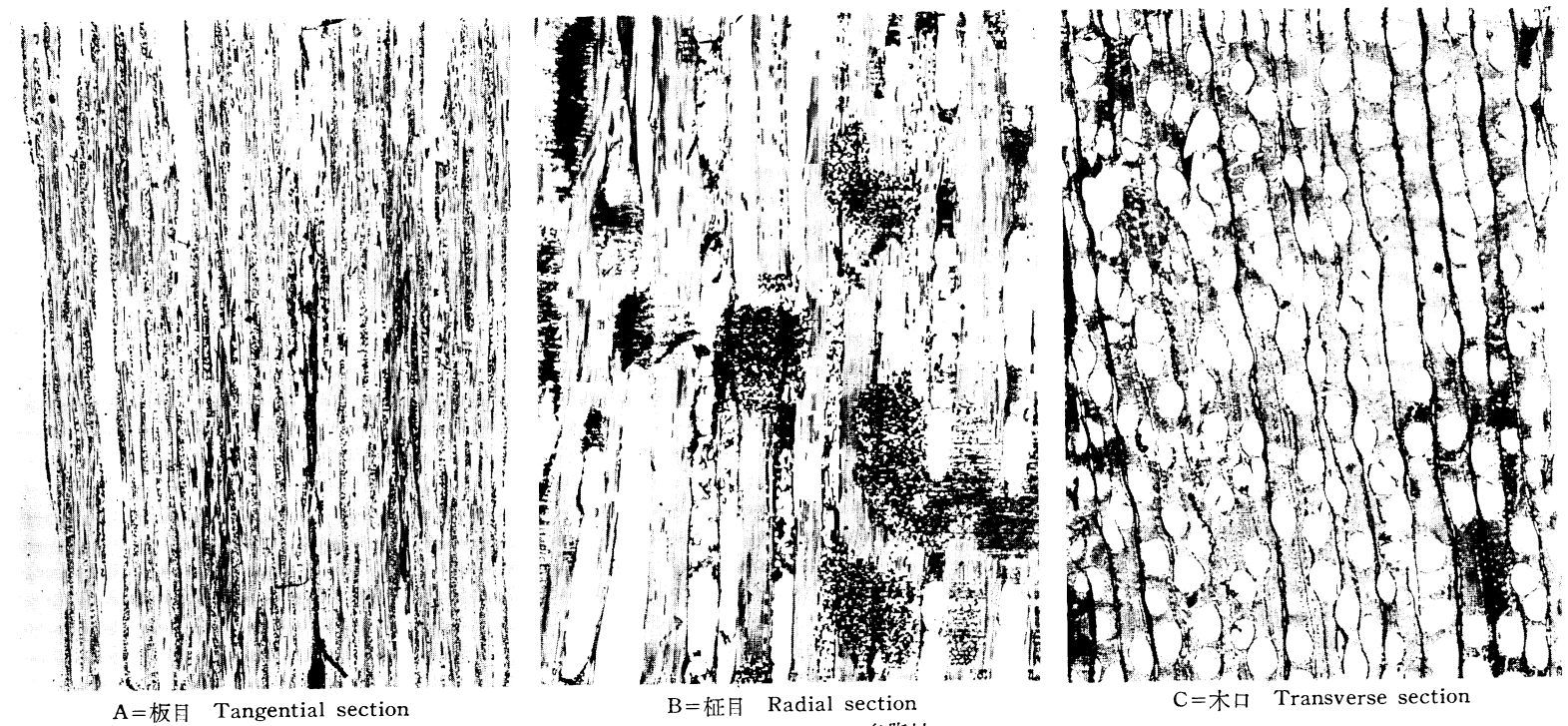




A=板目 Tangential section



C=木口 Transverse section



B=柾目 Radial section Phot. 2 アピトン,多脂材 Apitong, very resinous wood(×13)